

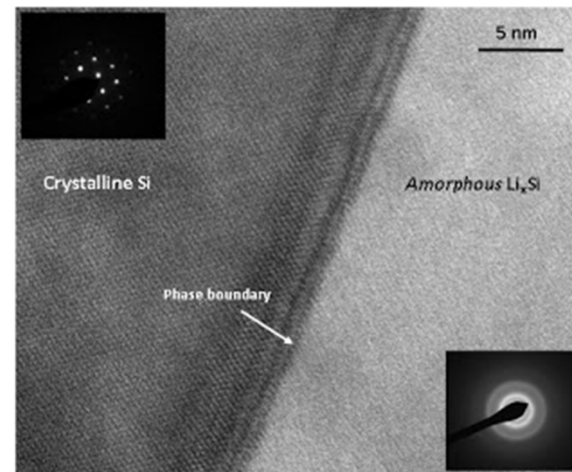
Fázové heterogenní rovnováhy

Fáze = homogenní část soustavy, oddělná fyzickým rozhraním, na rozhraní se vlastnosti mění skokem



Rovnováha

- **Tepelná** - T všude stejná
- **Mechanická** - p všude stejný
- **Chemická** - látkové množství jednotlivých složek se nemění, $dG = 0$, **chemický potenciál** všech složek ve všech fázích je stejný



Podmínka koexistenze fází:
mají stejnou G , přechod mezi fázemi $\Delta G = 0$

Chemický potenciál

$$\mu_i = \left(\frac{\partial G}{\partial n_i} \right)_{T,p,n_j}$$

Změna G se změnou složení n_i

Pro popis soustav, u kterých se mění složení

Rozdíl v chemickém potenciálu vede k chemické reakci, difuzi,....

Chemický potenciál každé složky ve všech koexistujících fázích je stejný.

Gibbsův fázový zákon

Fáze (P) = homogenní část soustavy (vlastnosti, struktura), rozhraní, skoková změna vlastností, skupenství (s, l, g), modifikace (led I - XII, He I a II)

P = 1: směs plynů, roztok

P = 2: kapalina + nasyc. g, nasycený roztok + pevná látka

P = 3: kapalina + nasyc. g + pevná látka

Složka (C) = čistá látka

Počet složek = minimální počet čistých látek,
Méně, pokud jsou vázány chemickou reakcí: CaCO₃, CO₂, CaO

Stupeň volnosti (V) = parametry soustavy p, T, c

Počet stupňů volnosti = lze měnit aniž by se změnil počet fází

Gibbsův fázový zákon

- Každá fáze P potřebuje $C - 1$ údajů o složení (molární zlomky x_i) plus T a p k popsání stavu,
celkově $P(C - 1) + 2$ stavových **proměnných**
- Pro každou složku C platí $P - 1$ rovnovážných podmínek
 $\mu(\alpha) = \mu(\beta) = \mu(\gamma) = \mu(\delta) = \dots$
rovnost chemických potenciálů složky v P fázích
celkem $C(P - 1)$ **podmínek**
- Počet stupňů volnosti V = počet **proměnných** ménus počet vazných **podmínek**
- $V = P(C - 1) + 2 - C(P - 1)$
- $\mathbf{V = C - P + 2}$

Gibbsův fázový zákon

$$P + V = C + 2$$

Fáze (P)

Stupně volnosti (V)

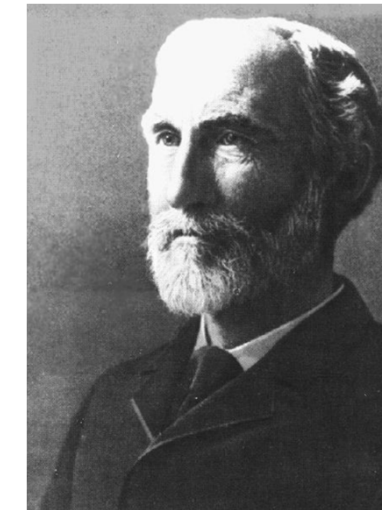
Složky (C)

Pro $C = 1$ jednosložková soustava

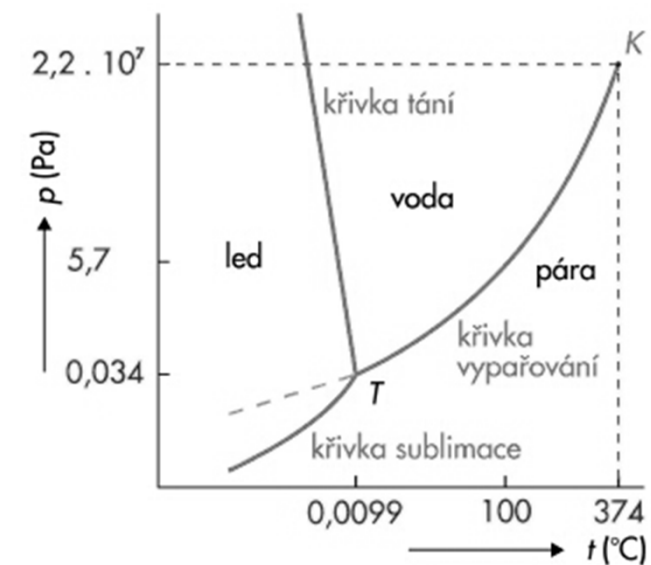
$P = 1$ $V = 2$ plocha

$P = 2$ $V = 1$ křivka

$P = 3$ $V = 0$ trojný bod



J. Willard Gibbs
(1839-1903)



Fázový diagram

Fázový diagram = grafická informace o stavu soustavy

Proměnné – tlak, teplota, C – 1 údajů o složení
(pro více než 1 složku v soustavě musí být fázový diagram
více než 3-rozměrný)

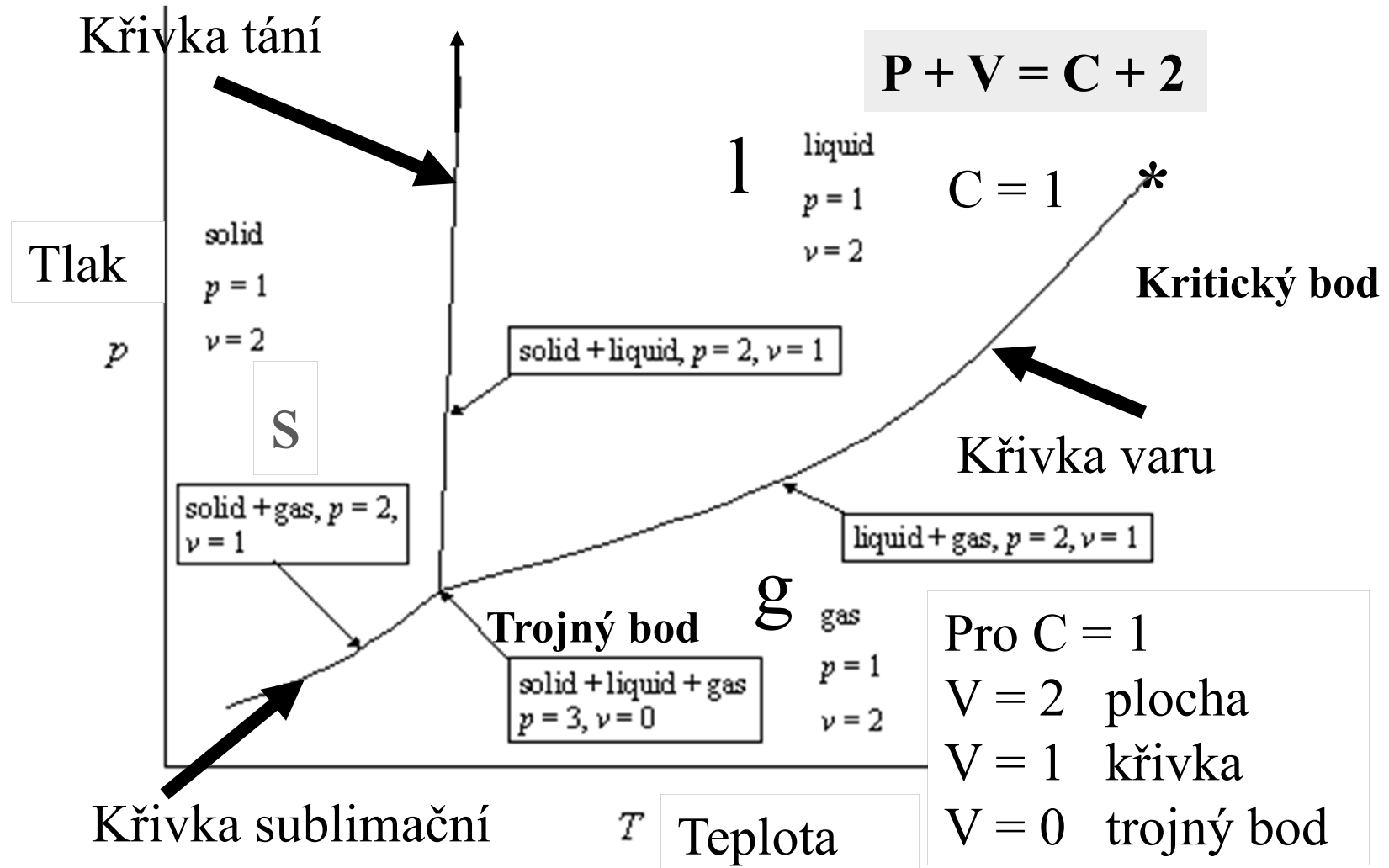
Řezy fázovým diagramem – některé proměnné držíme konstantní:

p = konst. izobarický diagram

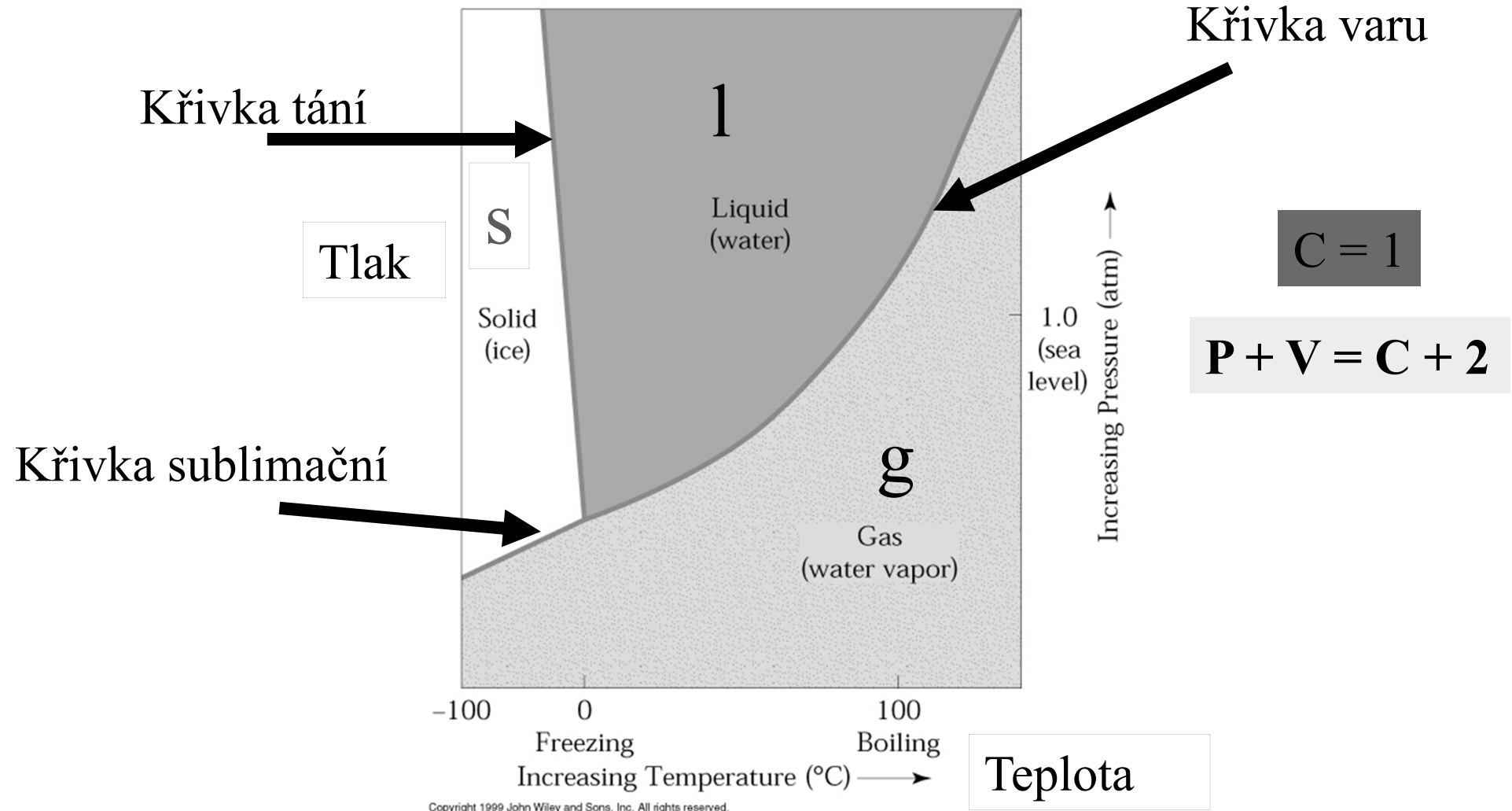
T = konst. izotermický diagram

c = konst. izokoncentrační diagram

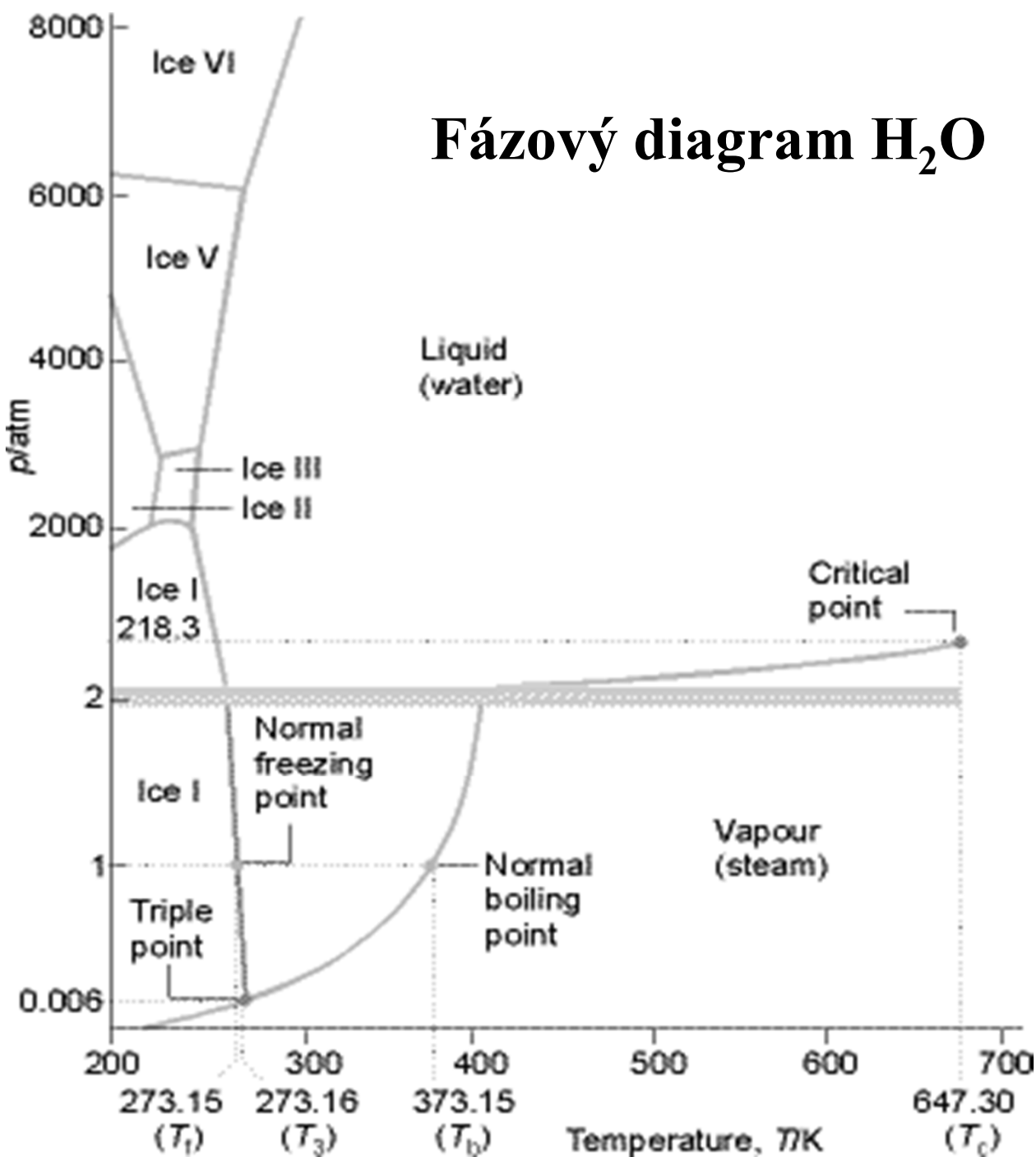
Fázový (p-T) diagram pro jednosložkovou soustavu



Fázový diagram pro jednosložkovou soustavu



Fázový diagram H_2O



Clausius-Clapeyronova rovnice

Clapeyronova rovnice pro fázovou přeměnu

Pro l-g rovnováhu – křivka varu:

- 1) $V_m(g) \gg V_m(l)$, pak $\Delta V_m = V_m(g)$
- 2) $V_m(g)$ ze stavové rovnice id. plynu

$$\frac{dp}{dT} = \frac{\Delta H_m}{T \Delta V_m}$$

$$V_m(g) = \frac{RT}{p}$$

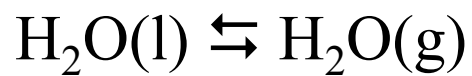
Diferenciální Clausius-Clapeyronova rovnice

$$\frac{d \ln p}{dT} = \frac{\Delta H_m}{RT^2}$$

Integrovaná Clausius-Clapeyronova rovnice

$$\ln \left(\frac{p_2}{p_1} \right) = \frac{-\Delta H}{R} \left(\frac{1}{T_2} - \frac{1}{T_1} \right)$$

Změna tenze par vody s teplotou



$$\Delta H_{výp}^0 = 40.66 \text{ kJ mol}^{-1}$$

$$K_p = P_{\text{H}_2\text{O}}$$

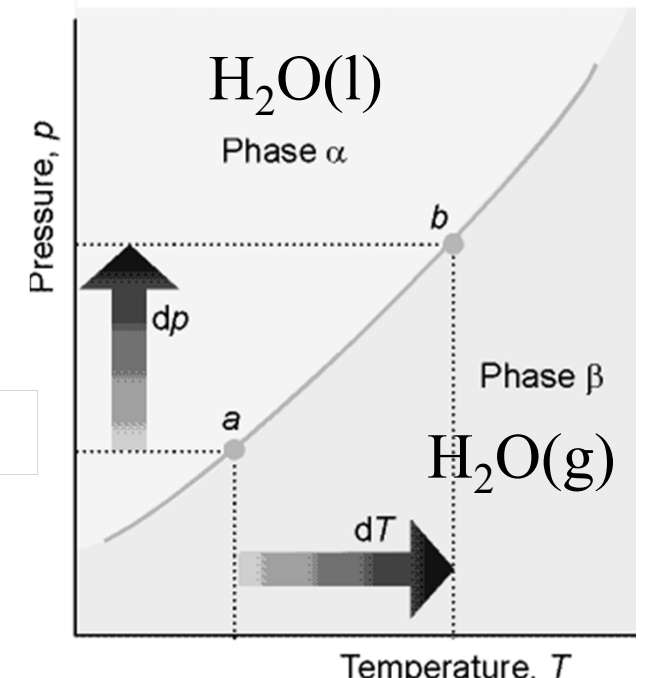
van't Hoffova rovnice

$$\ln \frac{K_2}{K_1} = \ln \frac{P_T}{P_{\text{var}}} = \ln P_T = \frac{\Delta H_{výp}^0}{R} \left(\frac{1}{T_{\text{var}}} - \frac{1}{T} \right)$$

$P_{\text{var}} = 1 \text{ atm}$

Clausius-Clapeyronova rovnice

$$\ln \left(\frac{P_2}{P_1} \right) = \frac{-\Delta H}{R} \left(\frac{1}{T_2} - \frac{1}{T_1} \right)$$



Změna tenze par vody s teplotou

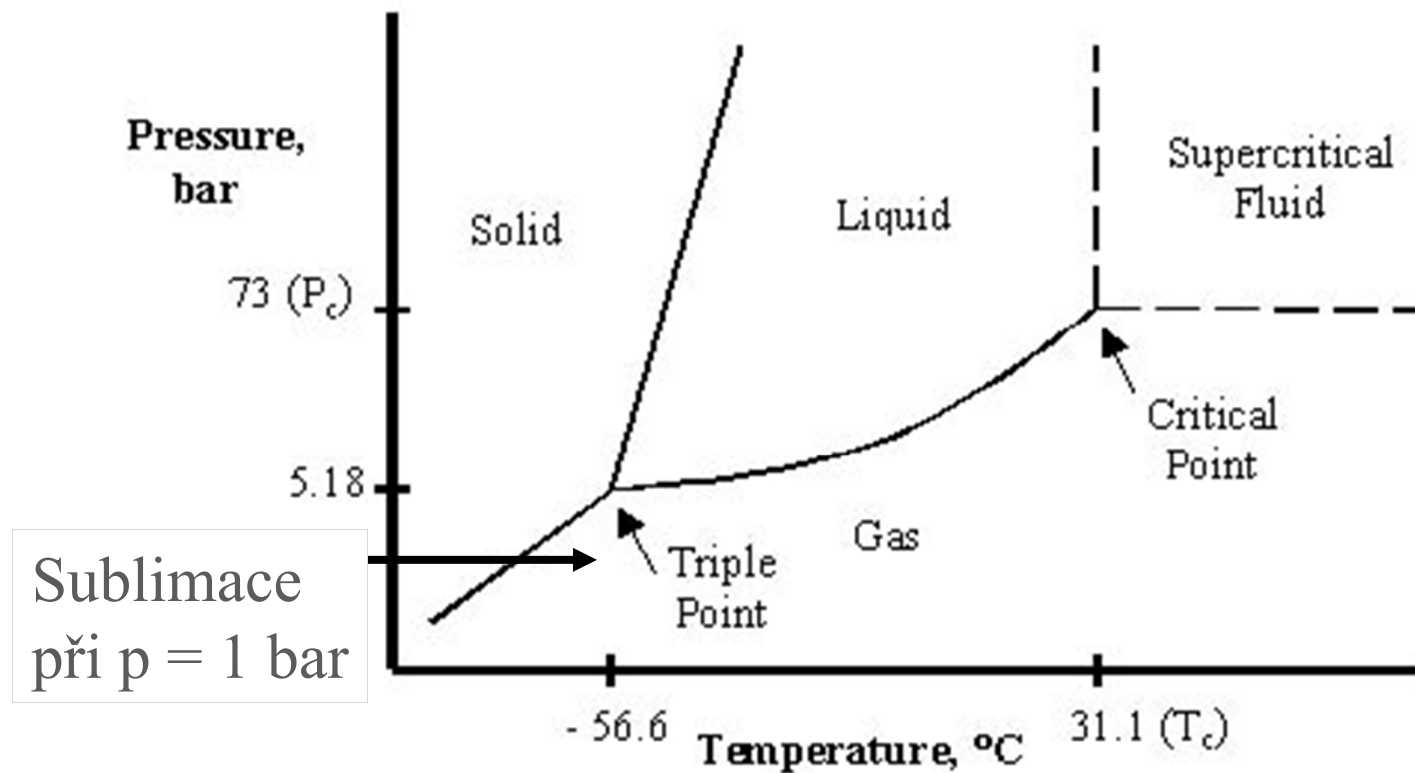
$$\ln \frac{K_2}{K_1} = \ln \frac{p_T}{p_{\text{var}}} = \ln p_T = \frac{\Delta H_{výp}^0}{R} \left(\frac{1}{T_{\text{var}}} - \frac{1}{T} \right)$$

$$\ln P_T = \frac{40660 \text{ Jmol}^{-1}}{8.315 \text{ JK}^{-1} \text{ mol}^{-1}} \left(\frac{1}{373 \text{ K}} - \frac{1}{323 \text{ K}} \right) = -2.03$$
$$P_{323} = e^{-2.03} = 0.131 \text{ atm}$$

Tlak nasycené vodní páry při 50 °C = 323 K

Fázový diagram CO₂

Suchý led

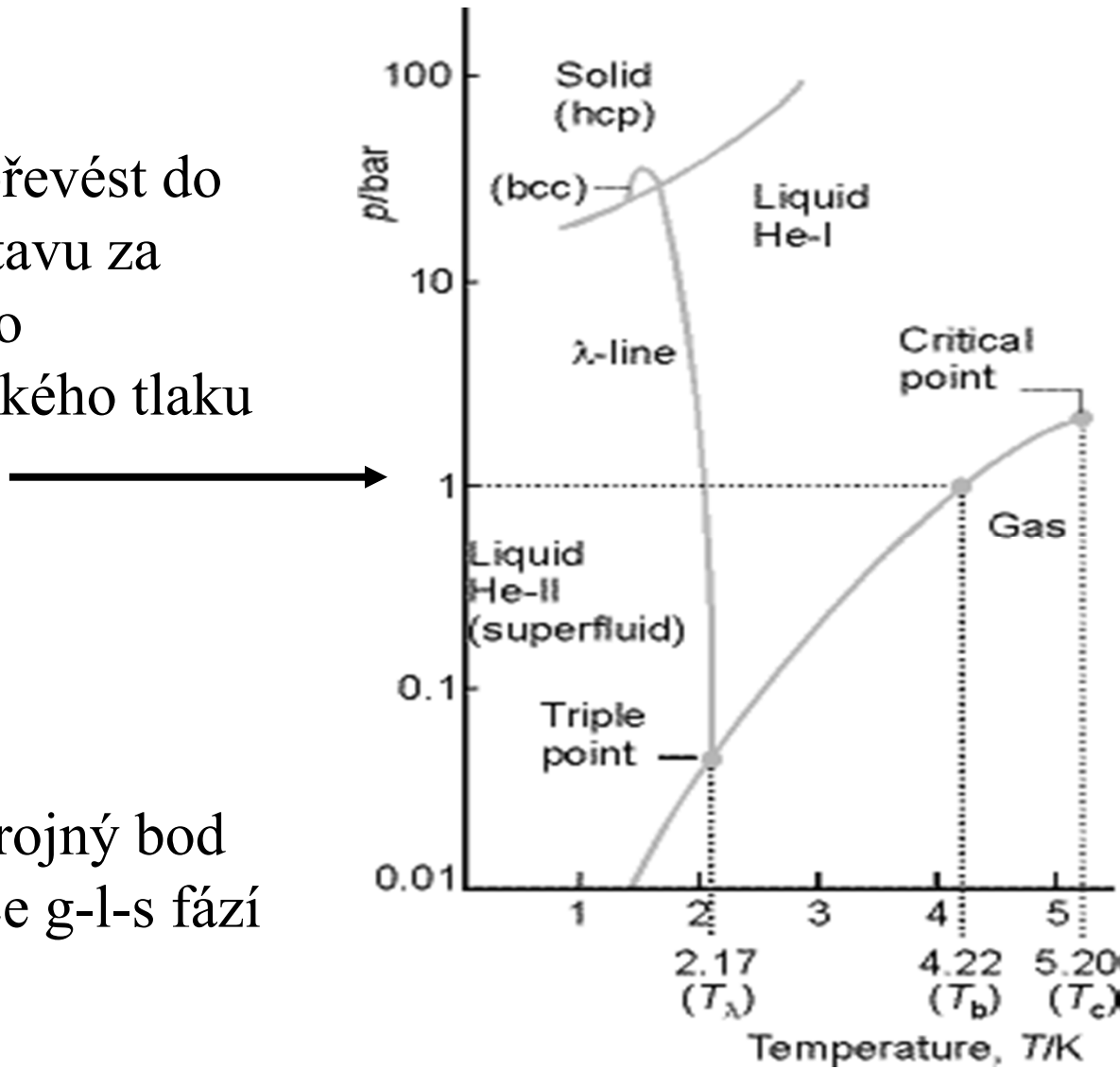


Phase Diagram for carbon dioxide.

Fázový diagram He

He nelze převést do pevného stavu za normálního atmosferického tlaku

He nemá trojný bod koexistence g-l-s fází



Fázový diagram pro dvousložkovou soustavu

$$C = 2, P + V = 4$$

$$V = 4 - P$$

$$P + V = C + 2$$

Minimálně jedna fáze

musí být přítomna $P = 1$

$$V_{\max} = 3 \text{ (T, p, x)}$$

Třírozměrný diagram

$$V = 2$$

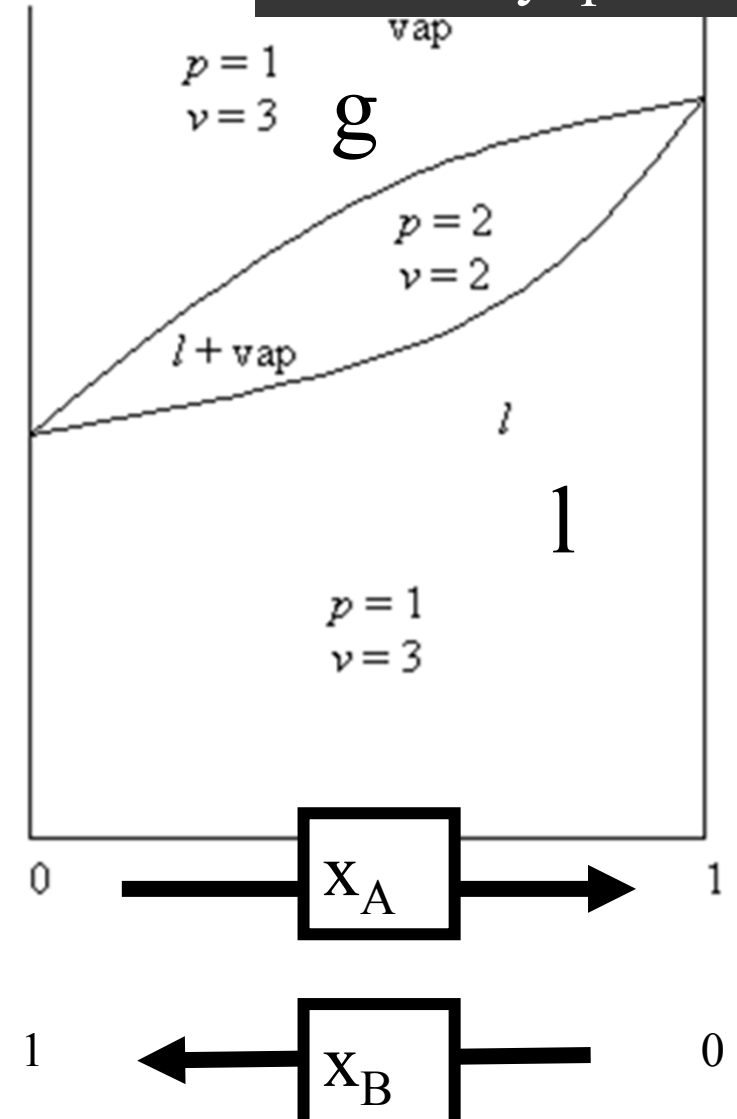
- Izotermický $T = \text{konst.}$

p jako funkce x

- Izobarický $p = \text{konst.}$

T jako funkce x

Izobarický: $p = \text{konst.}$



Směs dvou kapalin

Ideální směs (chování) dvou kapalin:

vdW interakce **A-A**, **B-B** a **A-B**

jsou přibližně stejné

hexan-heptan

Chemicky podobné látky

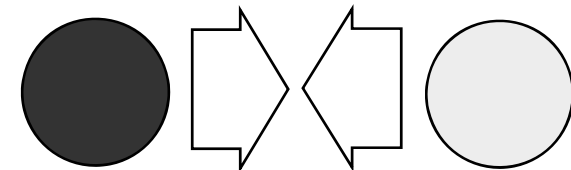
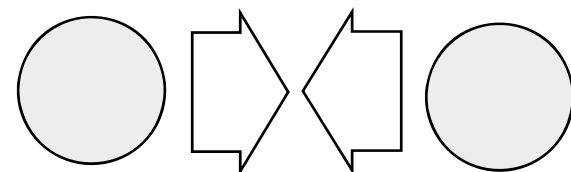
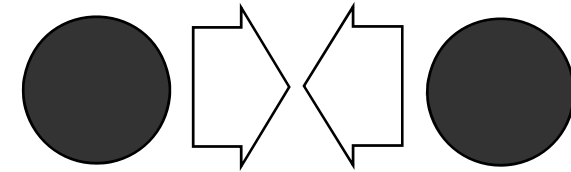
$$\Delta H_{\text{rozp}} = 0 \quad \Delta V_{\text{rozp}} = 0$$

Neideální chování kapalin:

vdW interakce **A-A**, **B-B** jsou různé

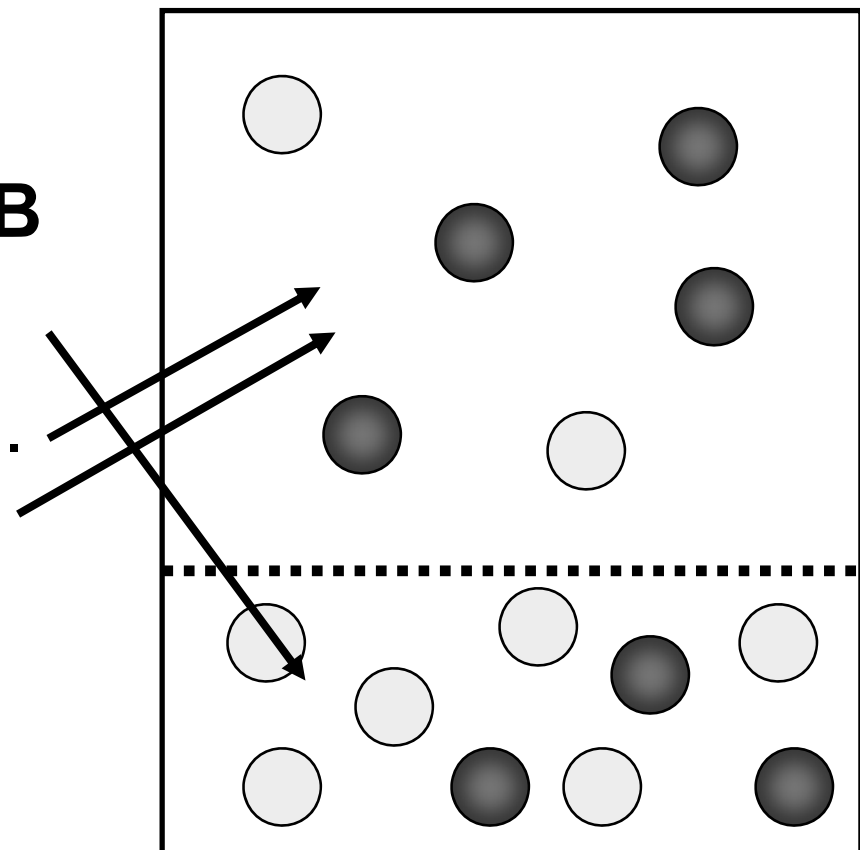
(větší nebo menší) než **A-B**

$$\Delta H_{\text{rozp}} \neq 0 \quad \Delta V_{\text{rozp}} \neq 0$$



Rovnováha $l \leftrightarrow g$ ve směsi dvou kapalin

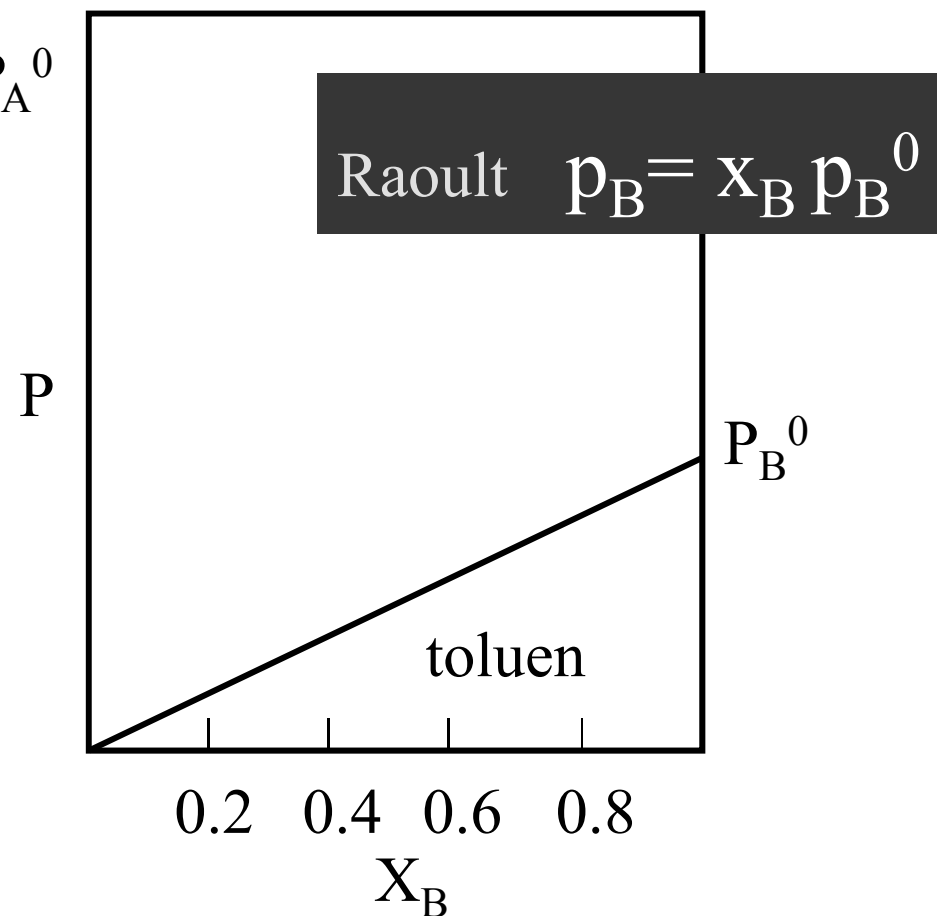
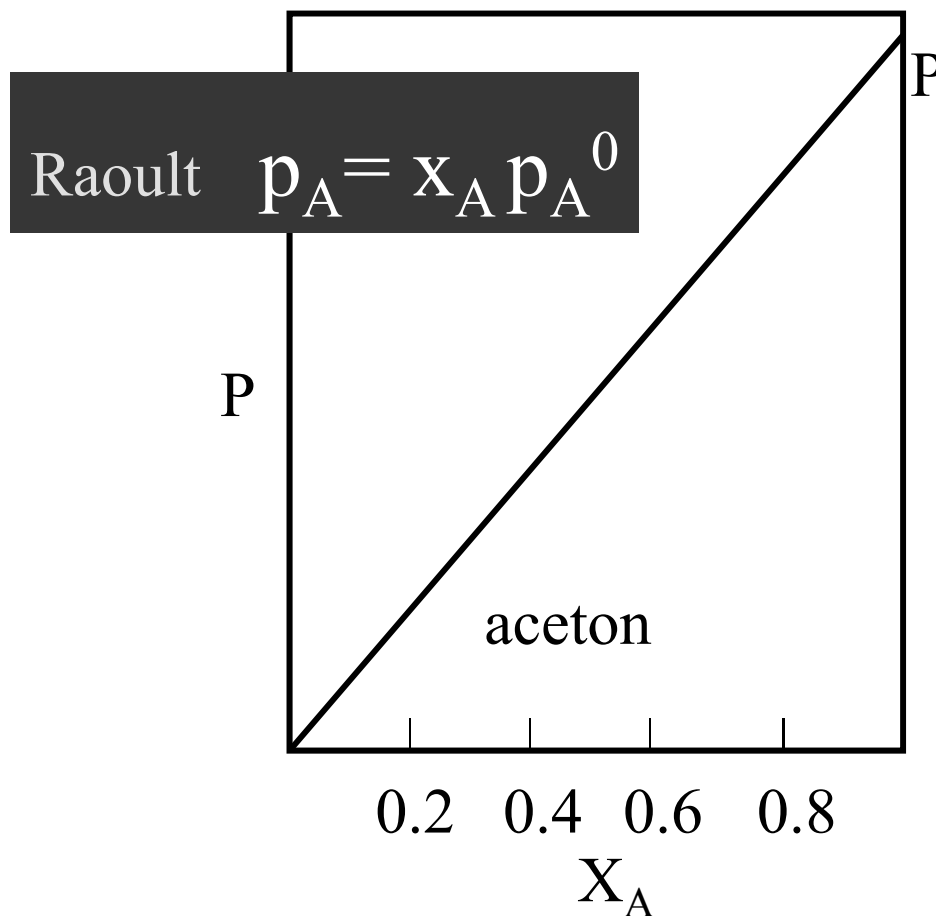
- Obě fáze jsou směsí **A** a **B**
- x_A, x_B molární zlomky v l.
- y_A, y_B molární zlomky v g.
- p_A, p_B parciální tlaky v g.



Tlak par v závislosti na složení kapalné fáze

Těkavější složka = vyšší tenze par

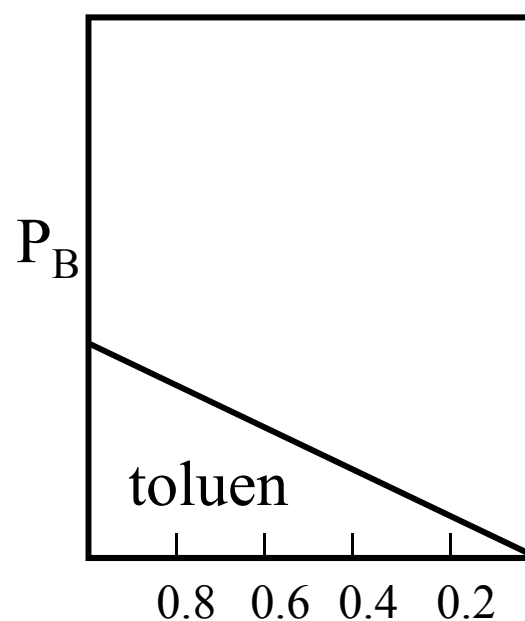
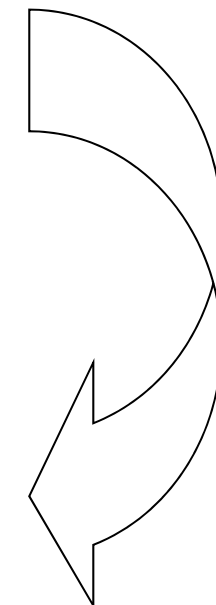
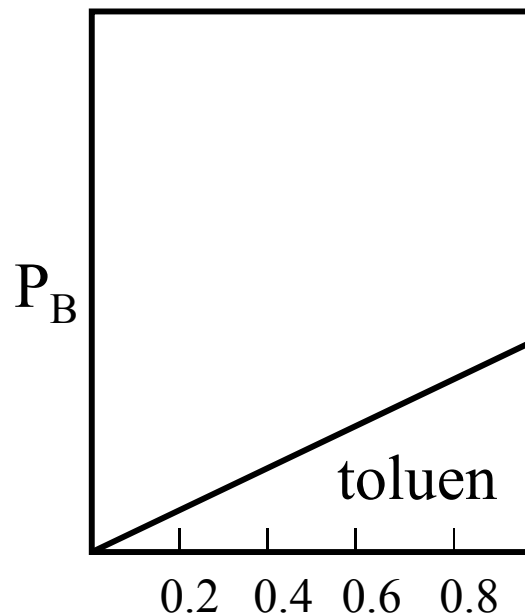
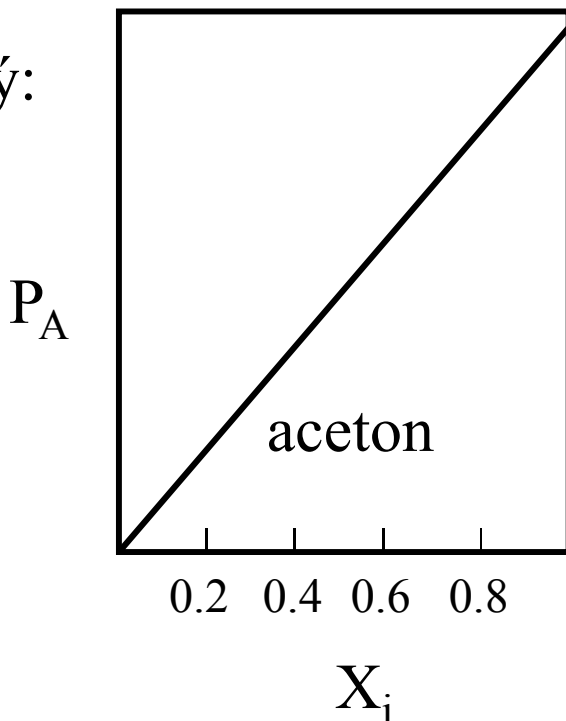
Izotermický: $T = \text{konst.}$



směs dvou kapalin: aceton a toluen

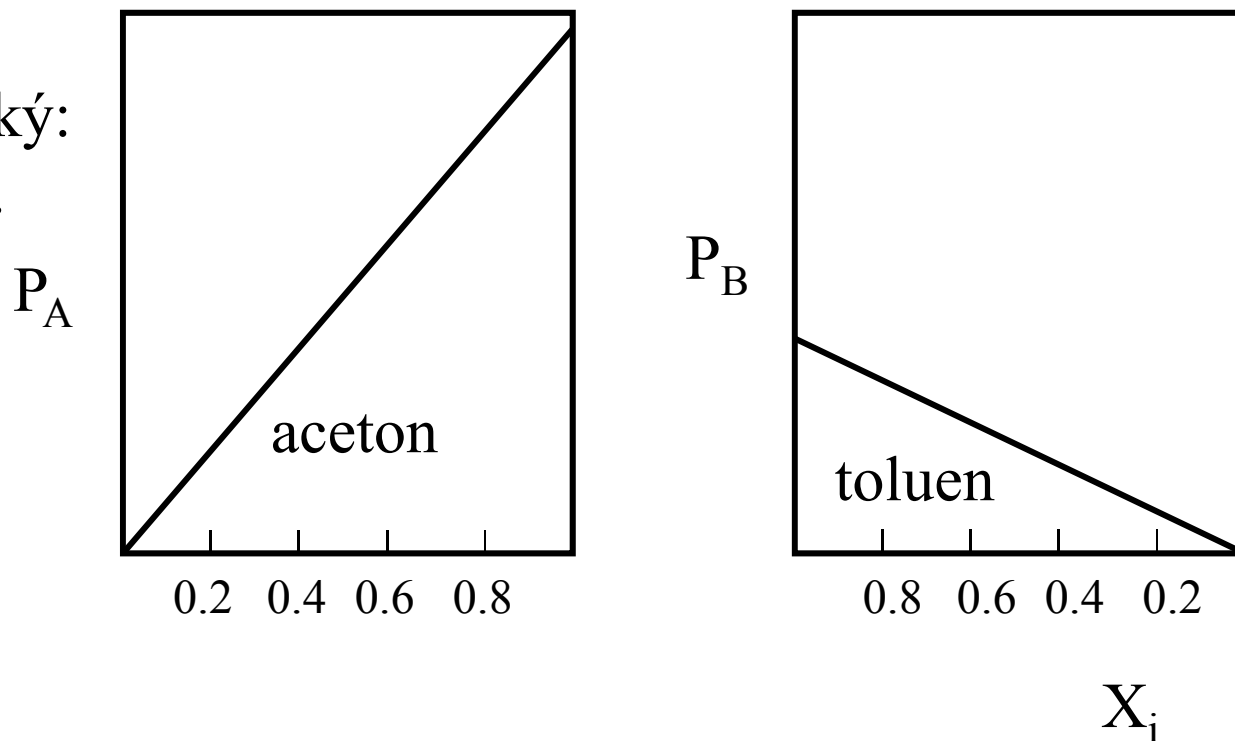
Tlak par v závislosti na složení kapalné fáze

Izotermický:
 $T = \text{konst.}$

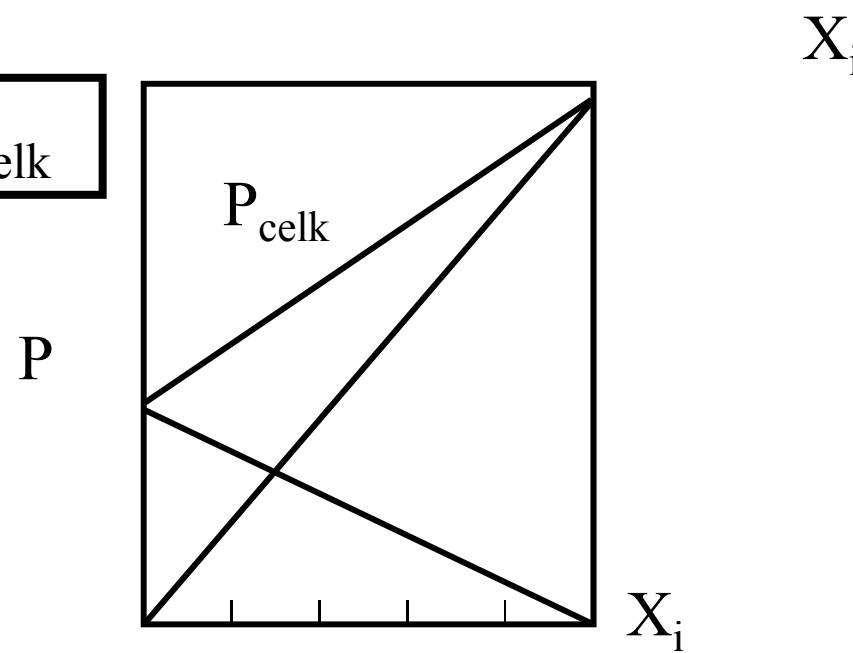


$$X_{\text{aceton}} + X_{\text{toluen}} = 1$$

Izotermický:
 $T = \text{konst.}$



$$P_{\text{aceton}} + P_{\text{toluen}} = P_{\text{celk}}$$

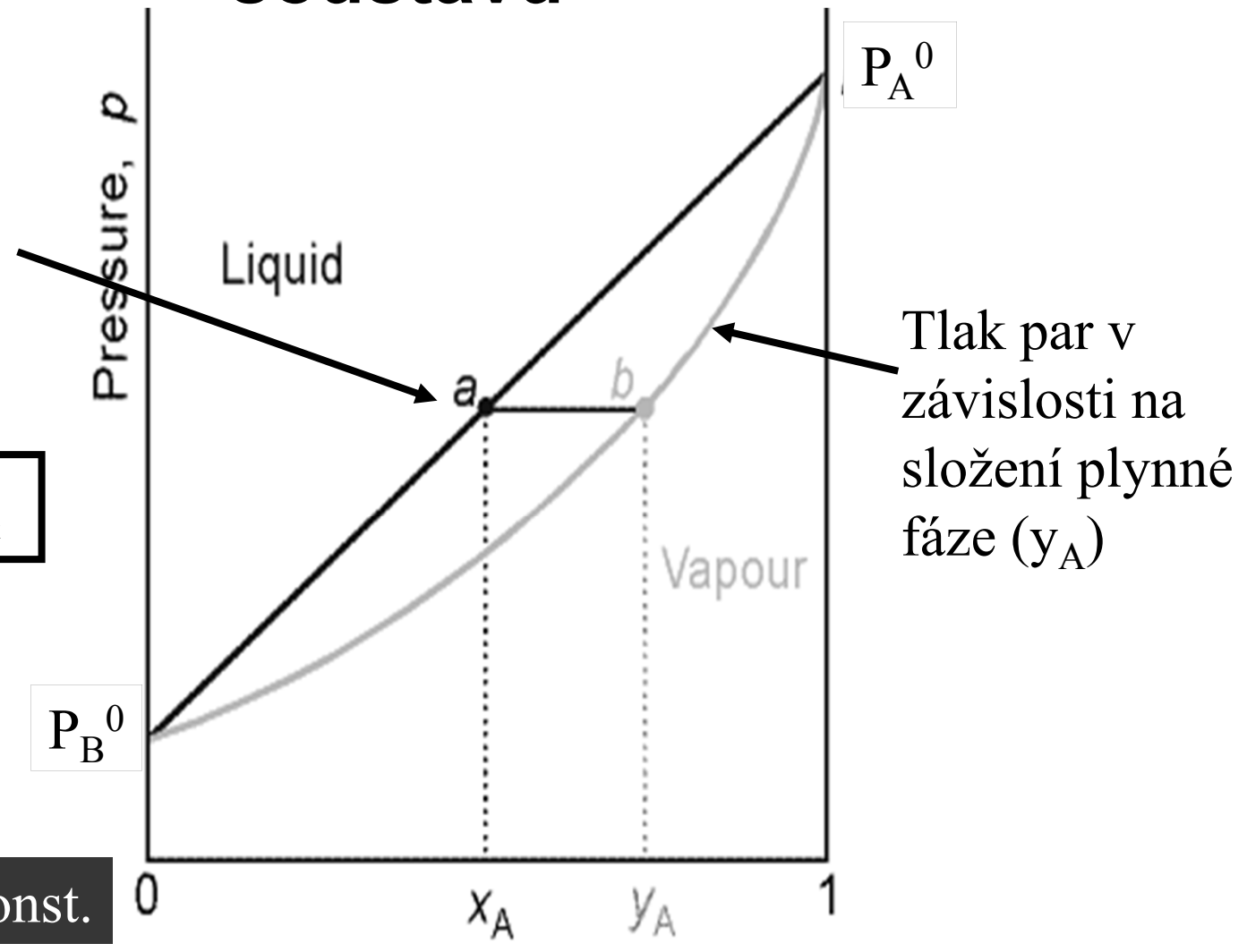


Fázový diagram pro dvousložkovou soustavu

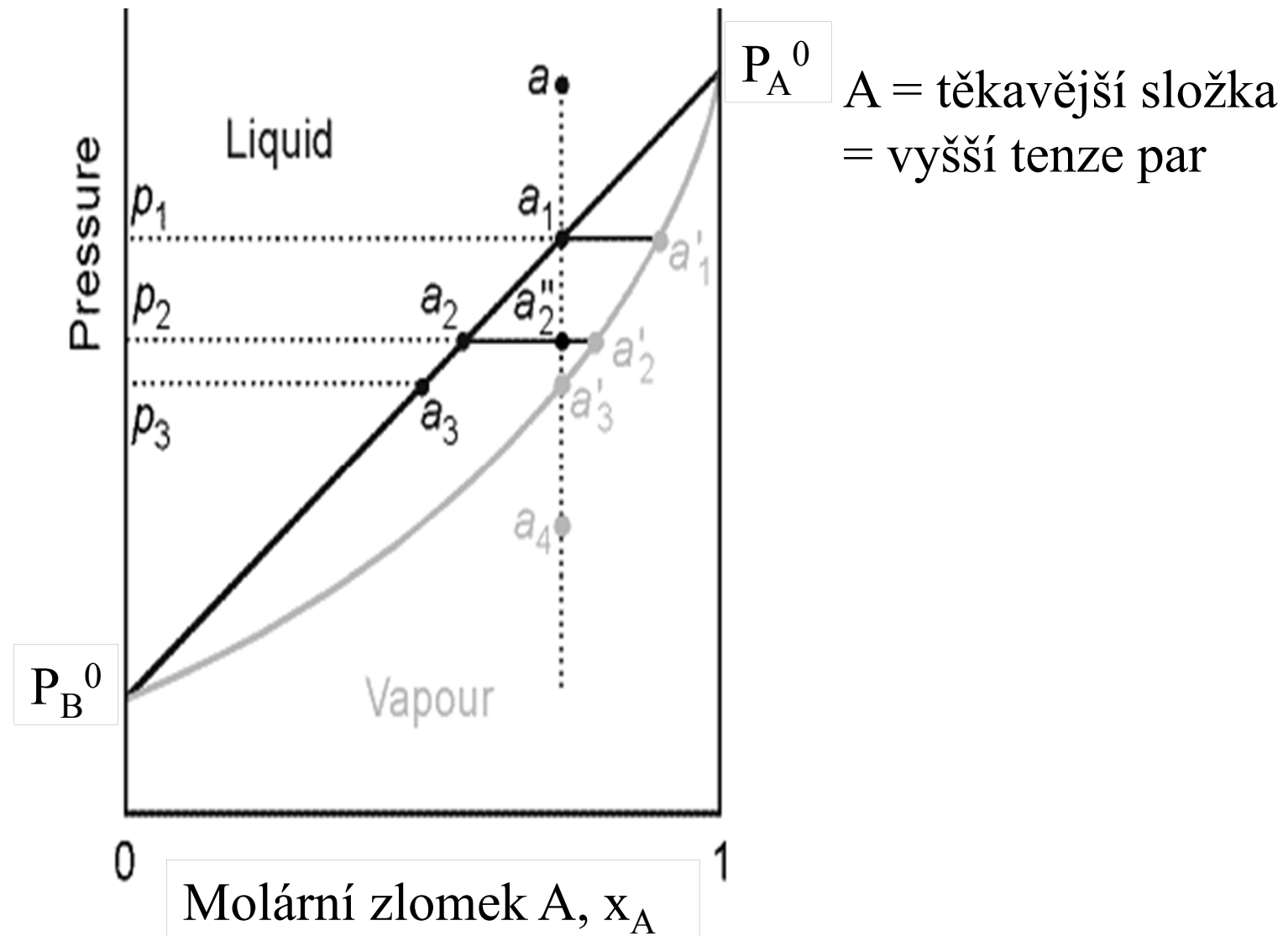
Tlak par v závislosti na složení kapalné fáze (x_A)

$$P_{\text{aceton}} + P_{\text{toluen}} = P_{\text{celk}}$$

Izotermický: $T = \text{konst.}$

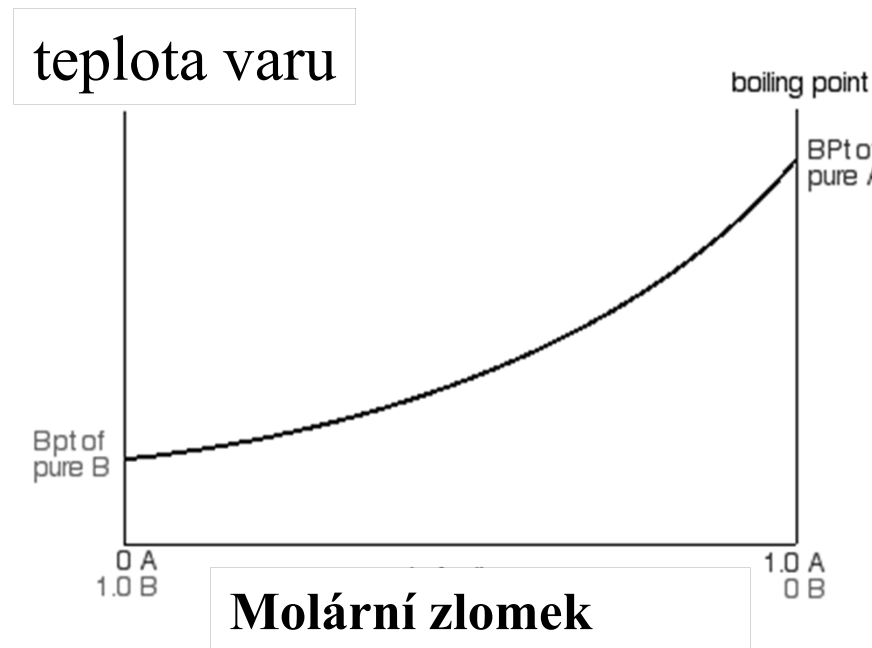


Destilace za konst. T snižováním tlaku

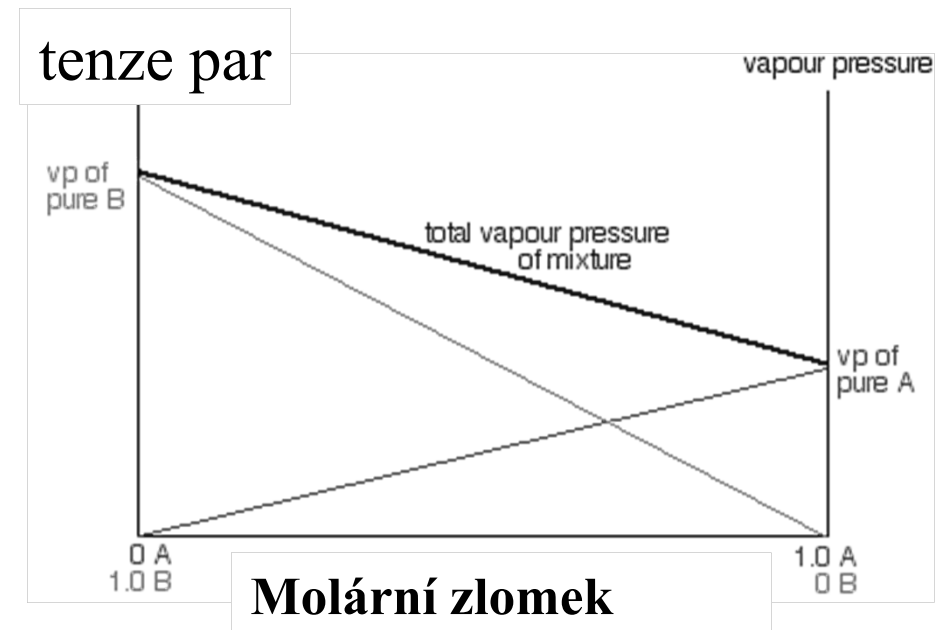


Fázové diagramy

Izobarický: $p = \text{konst.}$

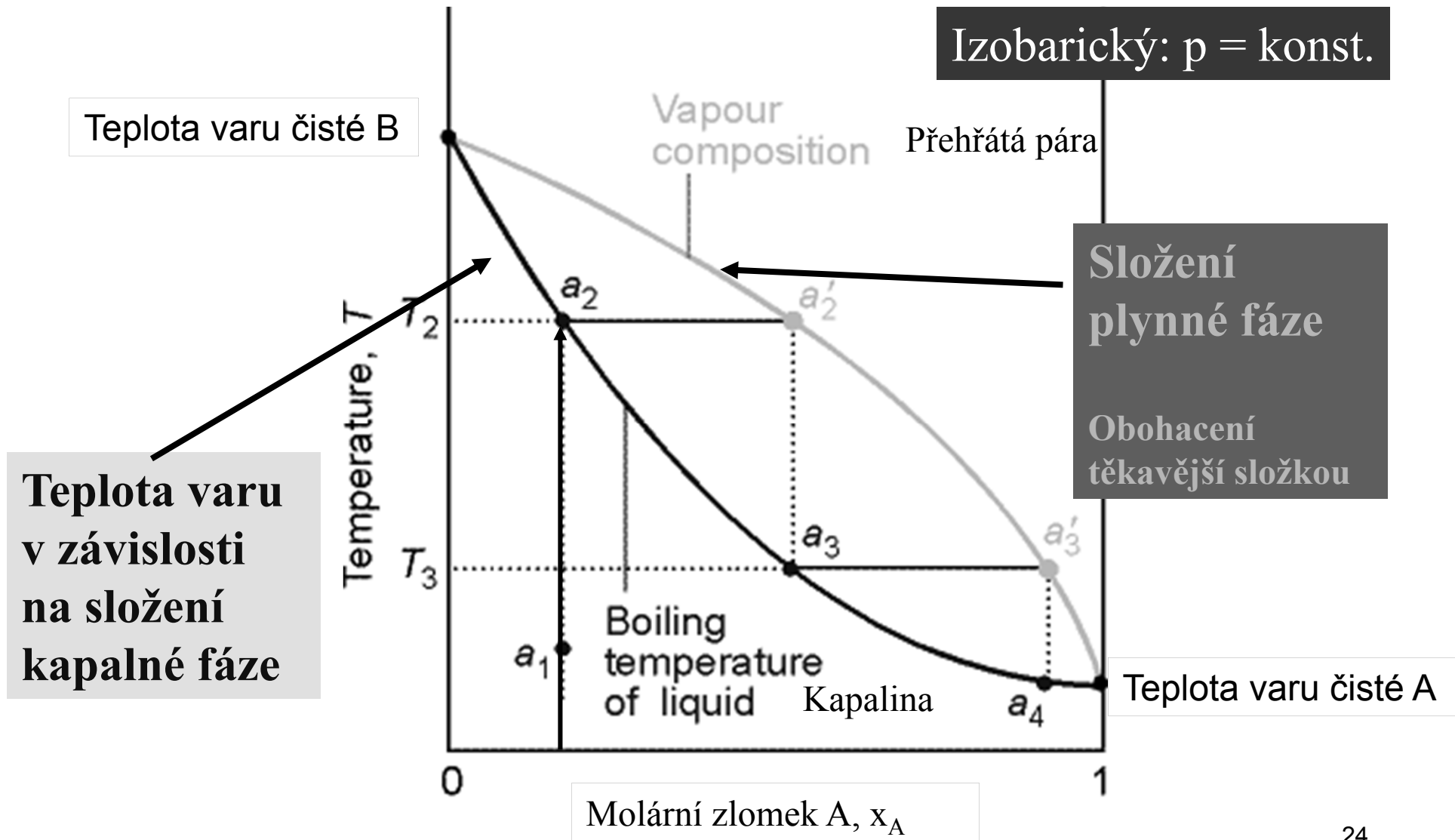


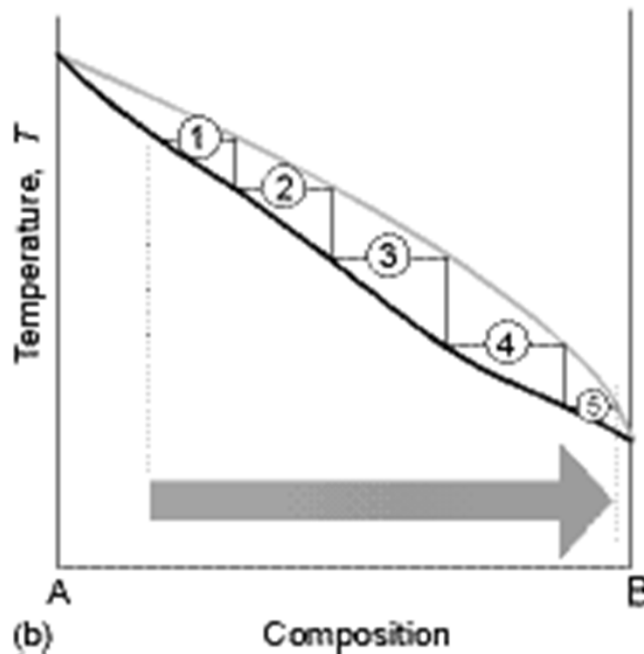
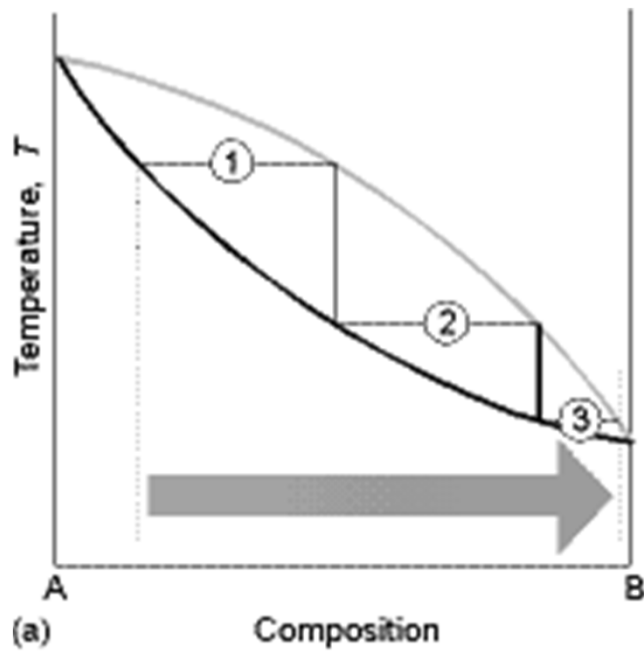
Izotermický: $T = \text{konst.}$



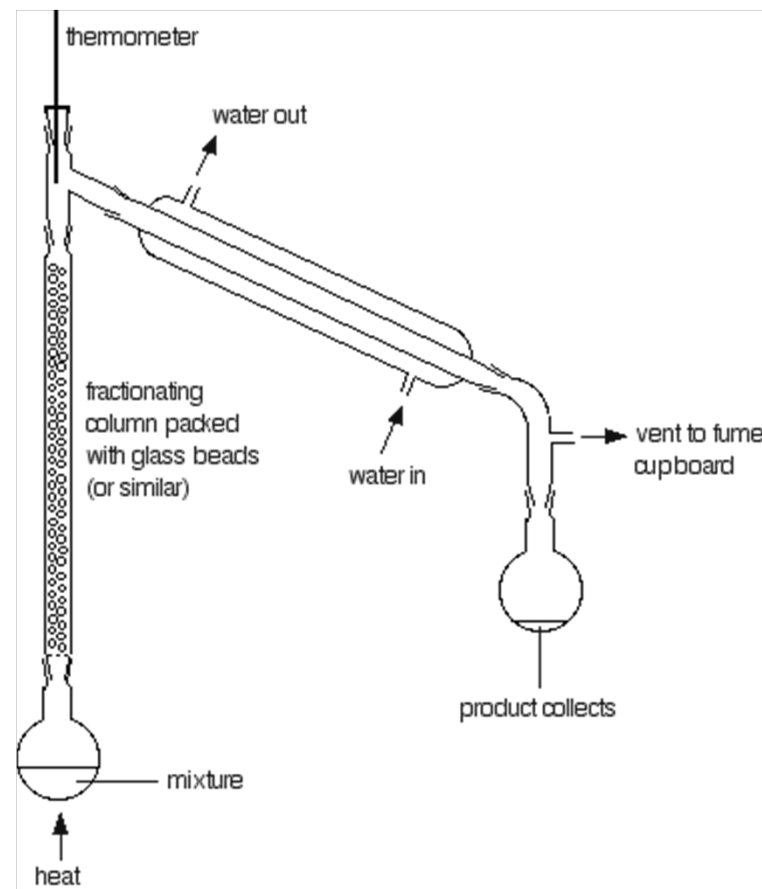
Těkavější složka = vyšší tenze par = nižší teplota varu

Destilace za konst. p zvyšováním T

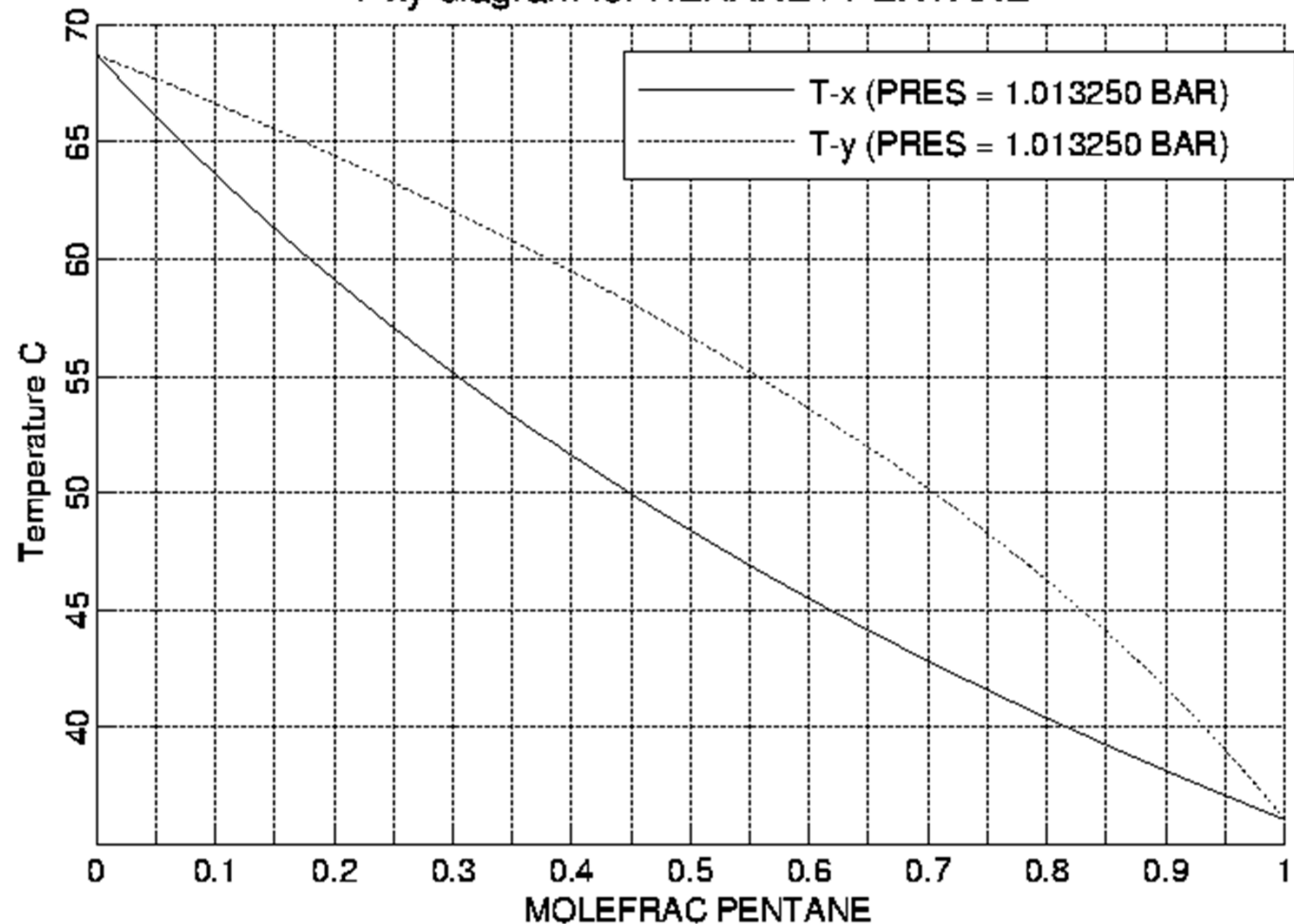


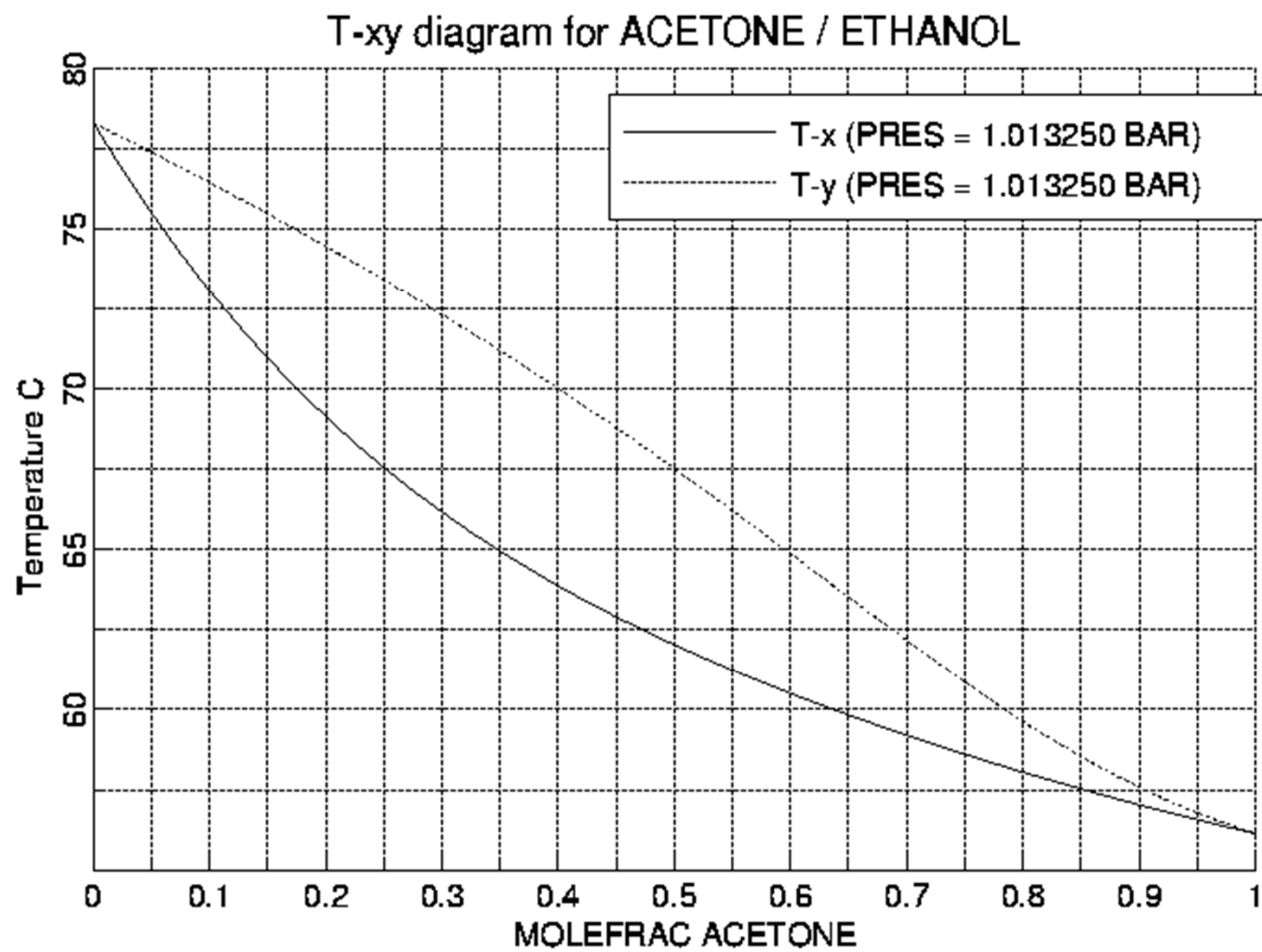


Frakční destilace

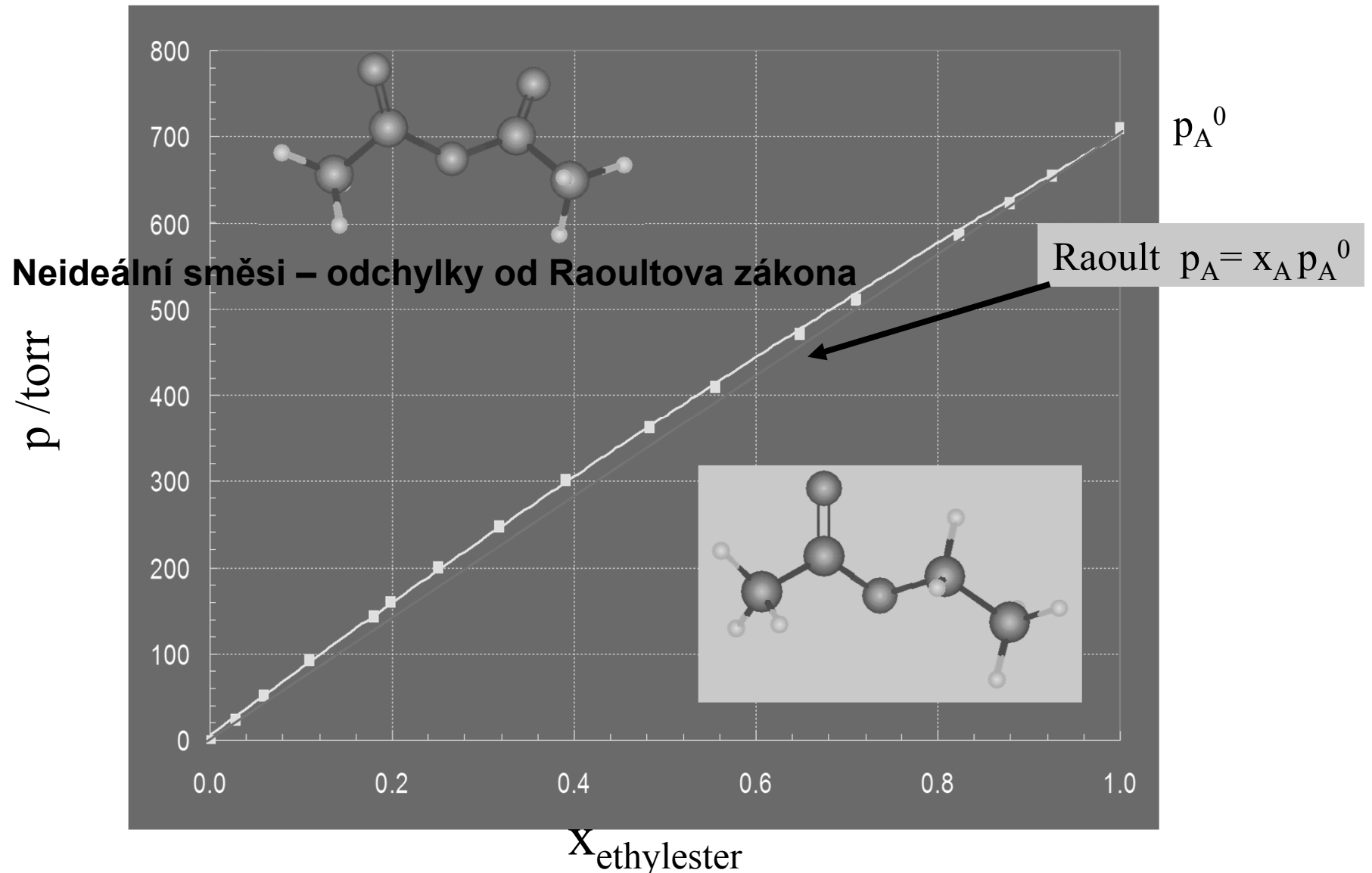


T-xy diagram for HEXANE / PENTANE

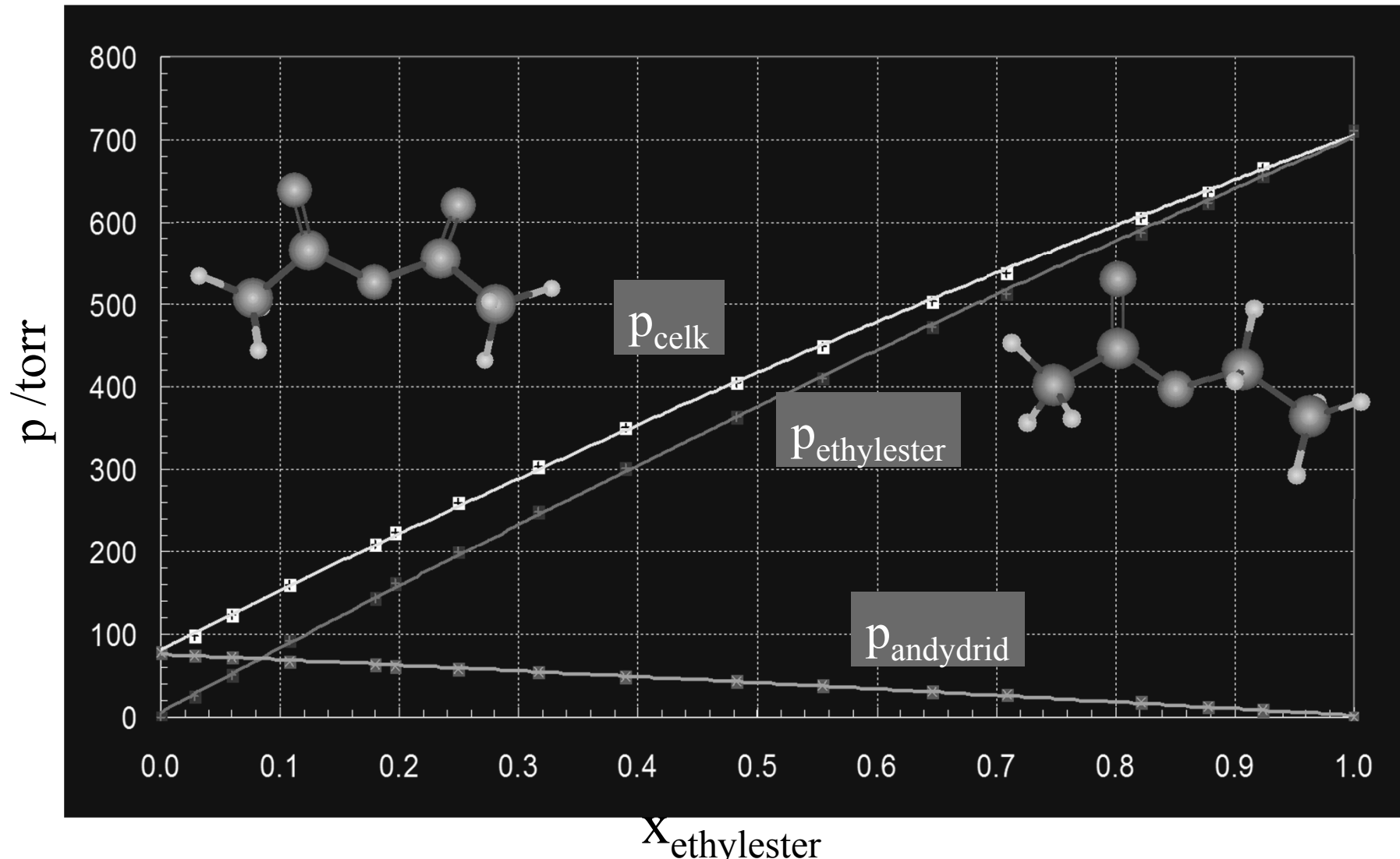




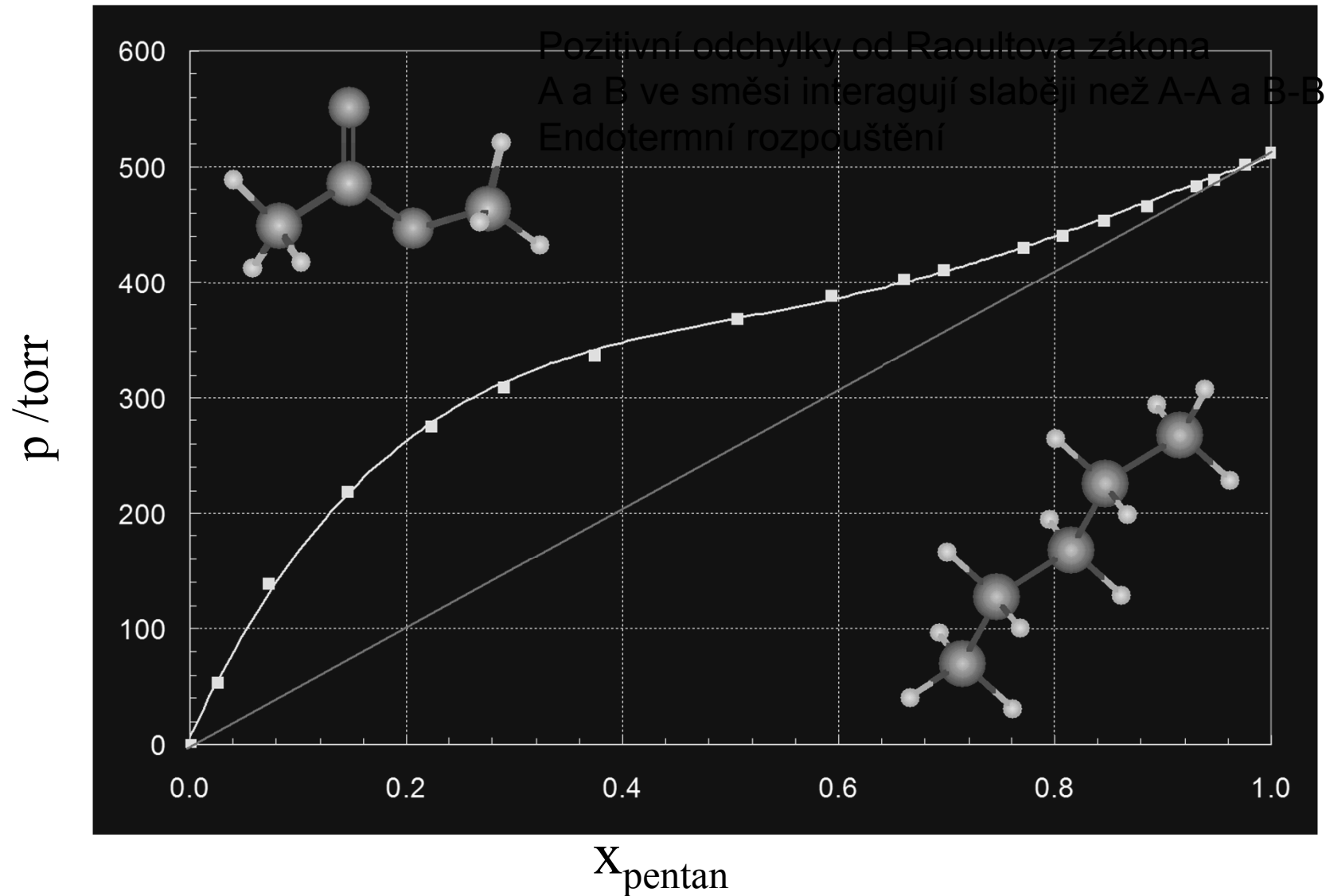
Tenze par ethylesteru kys. octové v anhydridu kys. octové



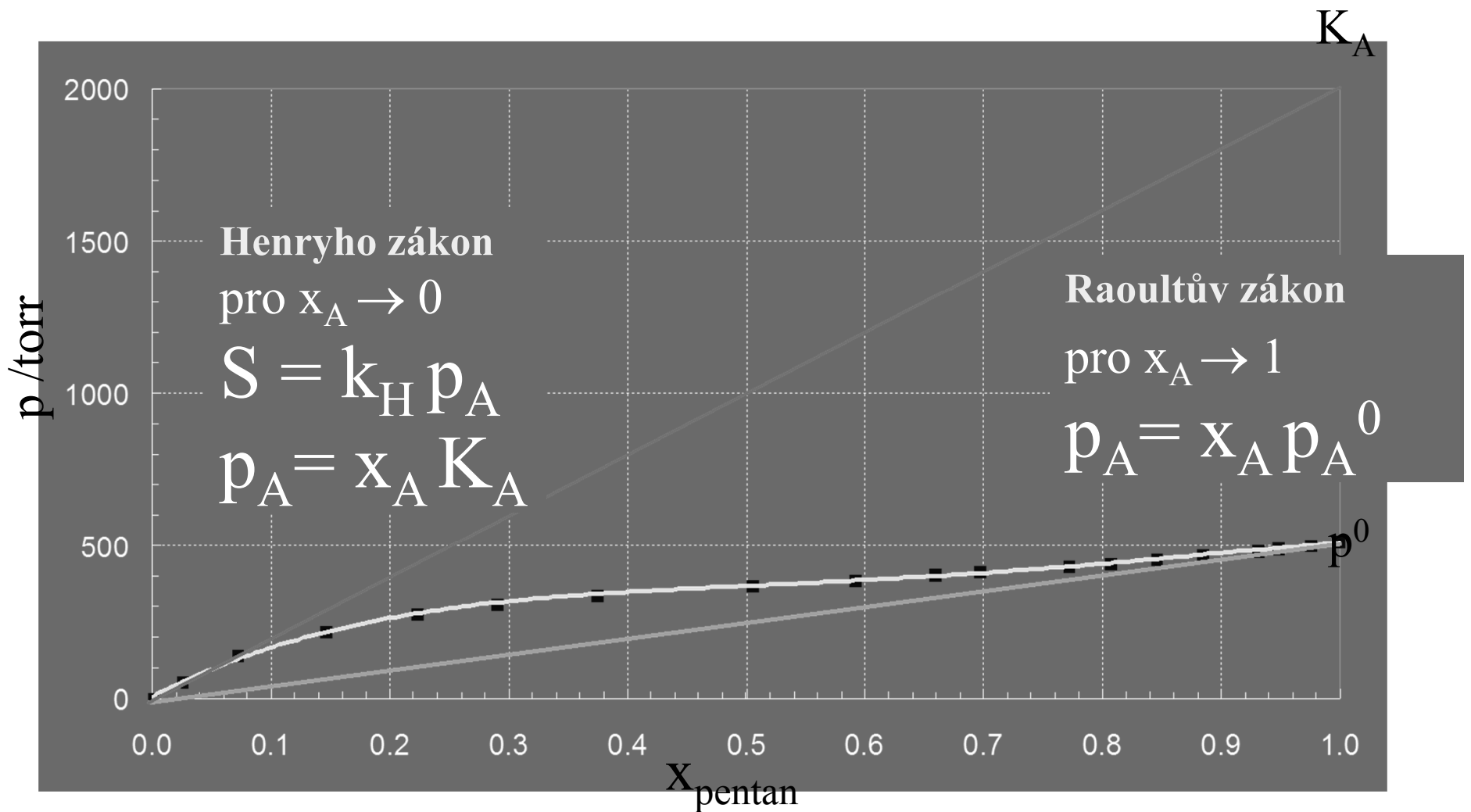
Celkový tlak ethylesteru a anhydridu kys. octové



n-Pentan v methylesteru kys. octové



Raoultův a Henryho zákon



Raoultův zákon

Tlak nasycené páry složky nad roztokem se mění lineárně s molárním zlomkem látky v roztoku.

$$p_A = x_A p_A^0$$

Raoultův zákon platí nejpřesněji pro $x_A \rightarrow 1$

Platí pro chemicky podobné látky

Henryho zákon

Molární rozpustnost je úměrná parciálnímu tlaku složky nad roztokem. Tlak páry složky je úměrný molárnímu zlomku v roztoku.

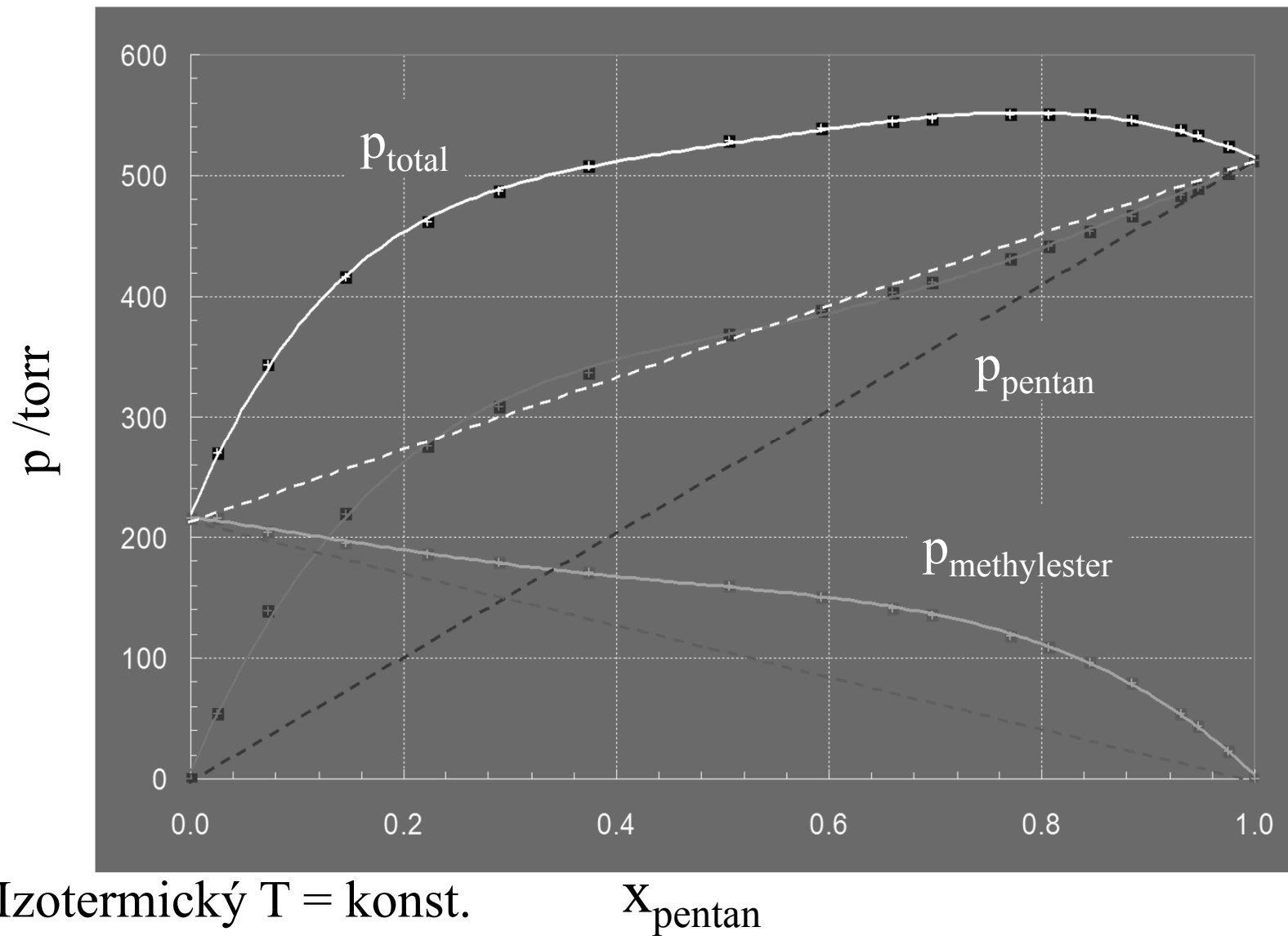
$$S = k_H p_A$$

$$p_A = x_A K_A$$

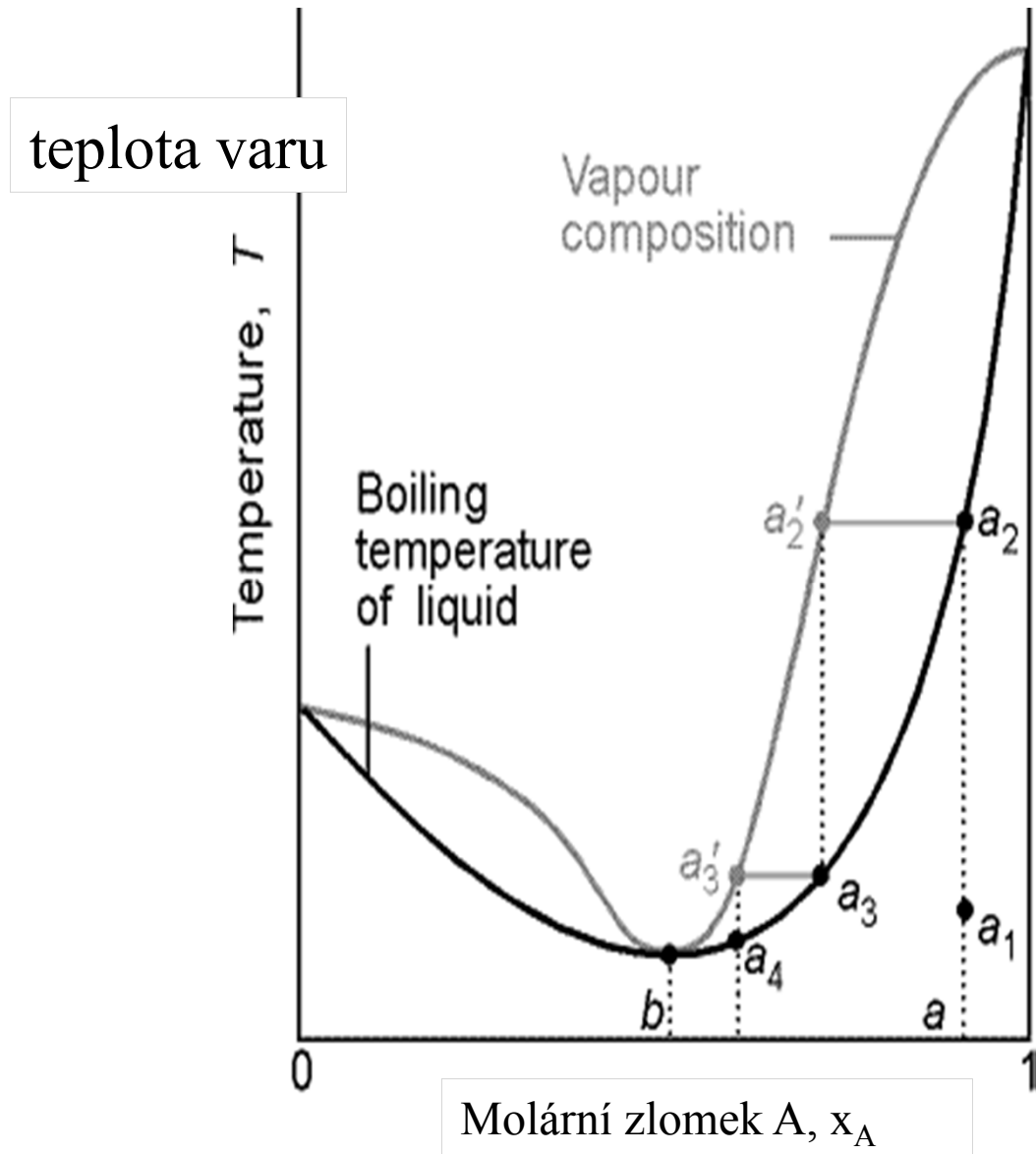
Henryho zákon platí nejpřesněji pro $x_A \rightarrow 0$

K_A hypotetický tlak par čisté A, kdyby se chovala v čistém stavu stejně jako v nekonečně zředěném roztoku.

n-Pentan a methylester kys. octové



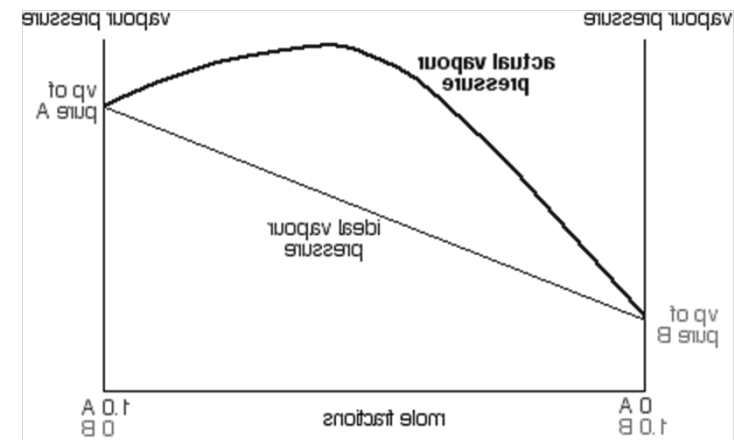
Azeotropická směs s min. T_v (max. p)



Ethanol – voda

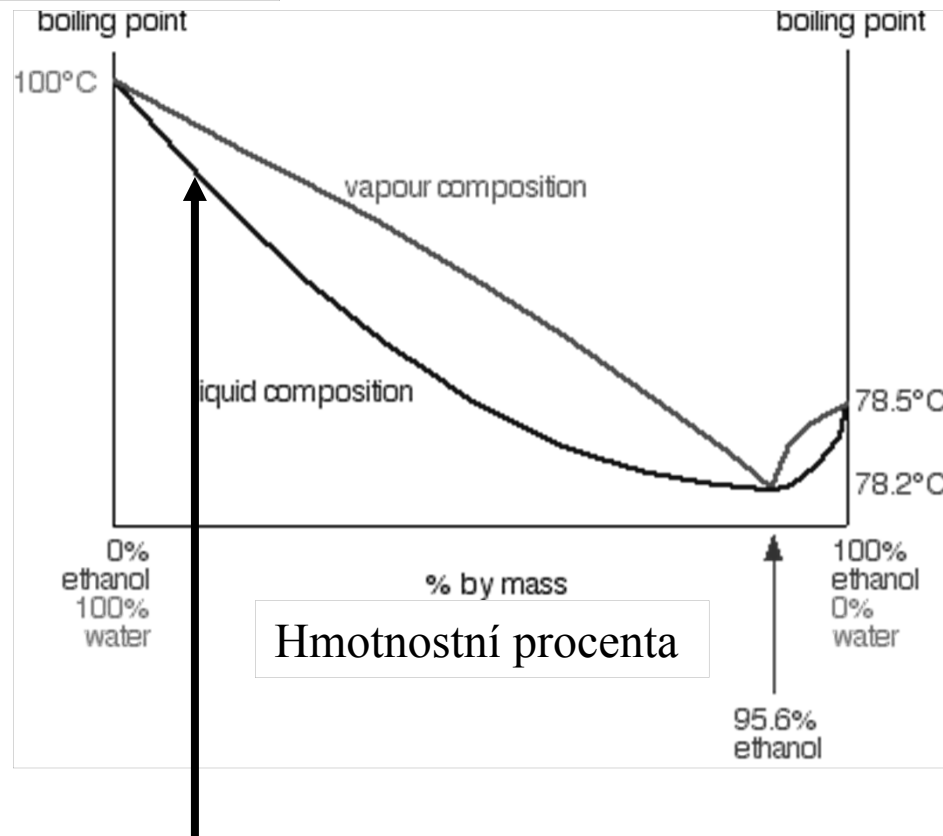
Pozitivní odchylky od Raoultova zákona, A a B ve směsi interagují slaběji než A-A a B-B, směs se vypařuje snadněji než čisté látky

Endotermní rozpouštění



Azeotropická směs s min. T_v (max. p)

teplota varu



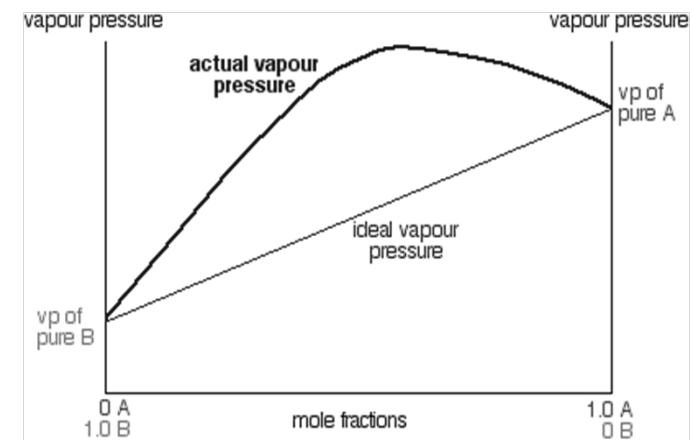
Frakční destilací lze získat ethanol max. 95.6% v destilátu a čistou vodu v destilačním zbytku

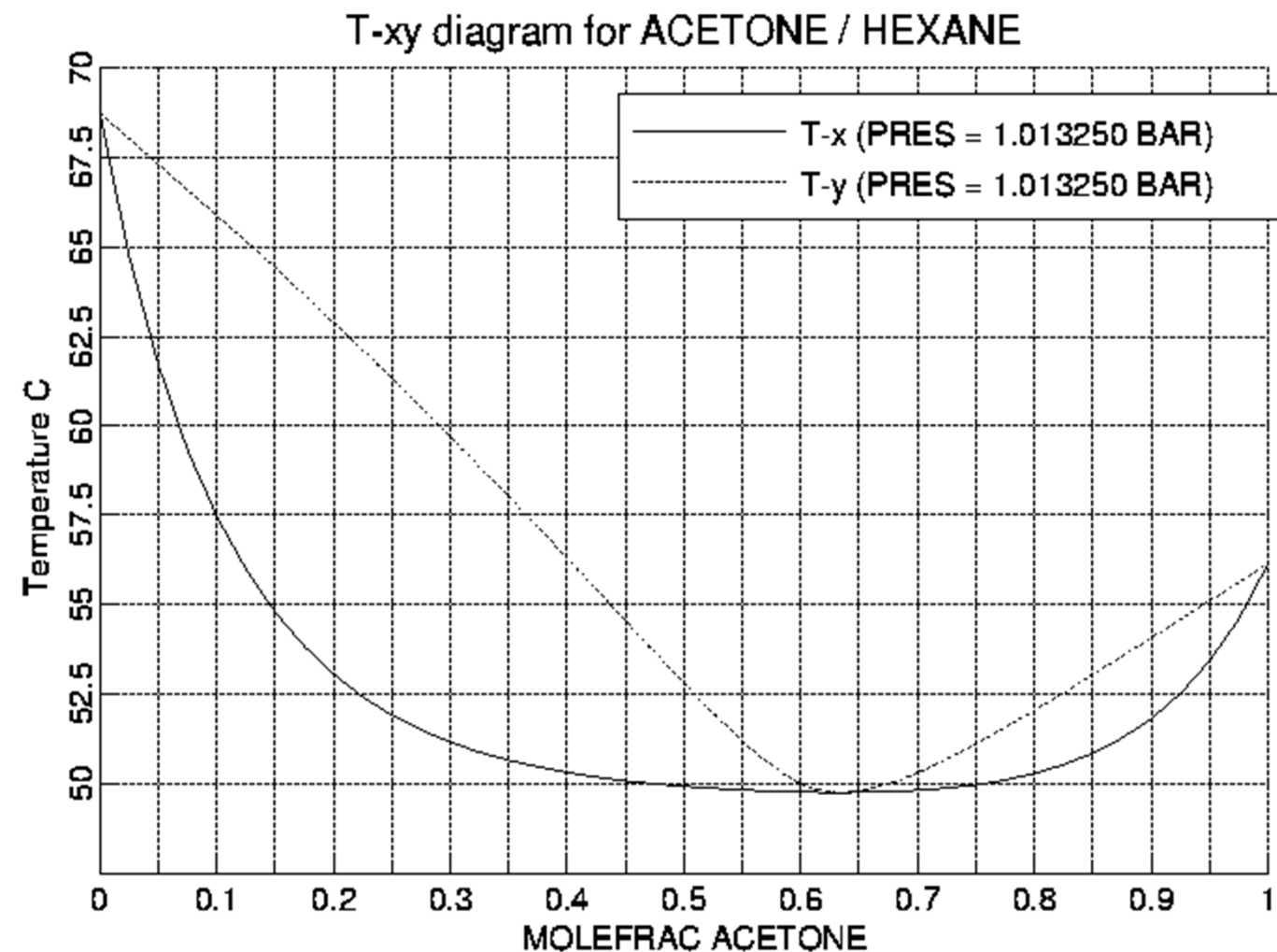
Ethanol – voda

$$w = 95.6\% \quad x = 0.895$$

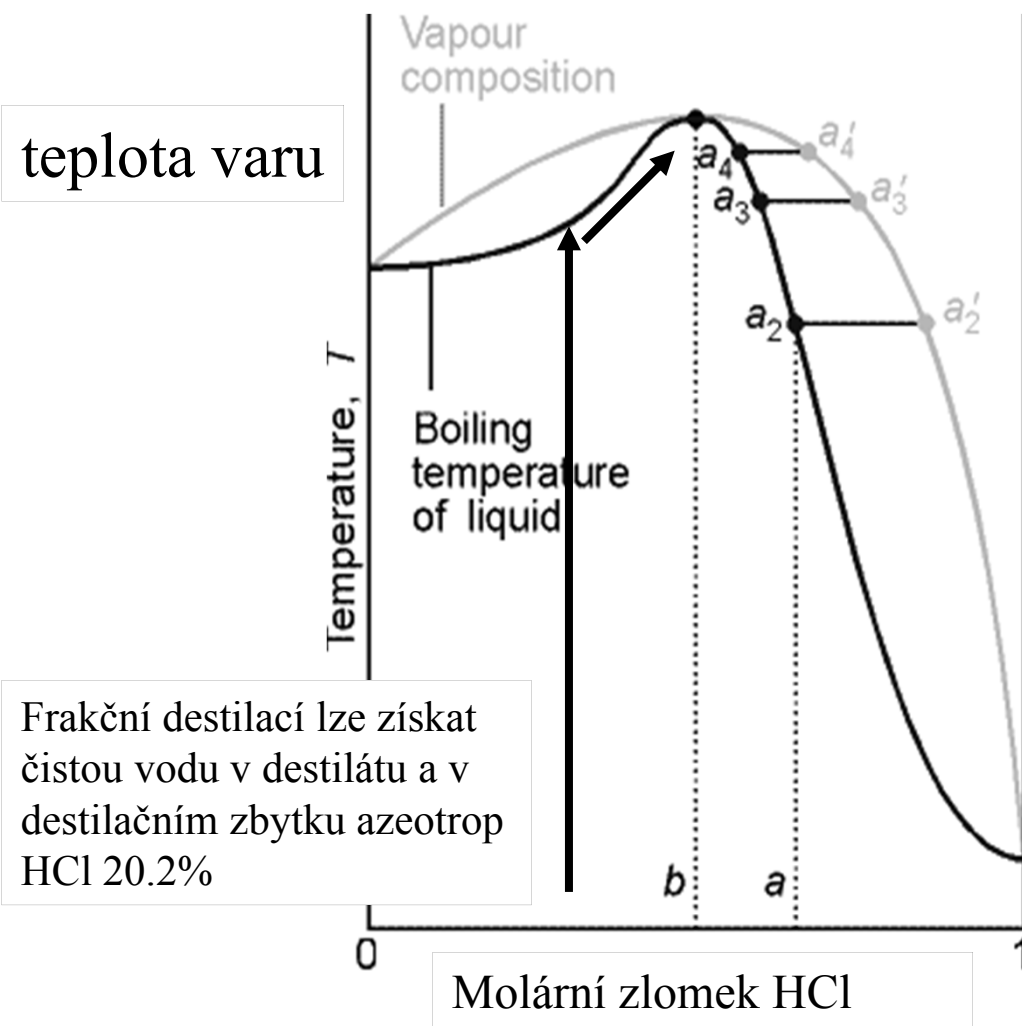
Pozitivní odchylky od Raoultova zákona, A a B ve směsi interagují slaběji než A-A a B-B, směs se vypařuje snadněji než čisté látky

Endotermní rozpouštění



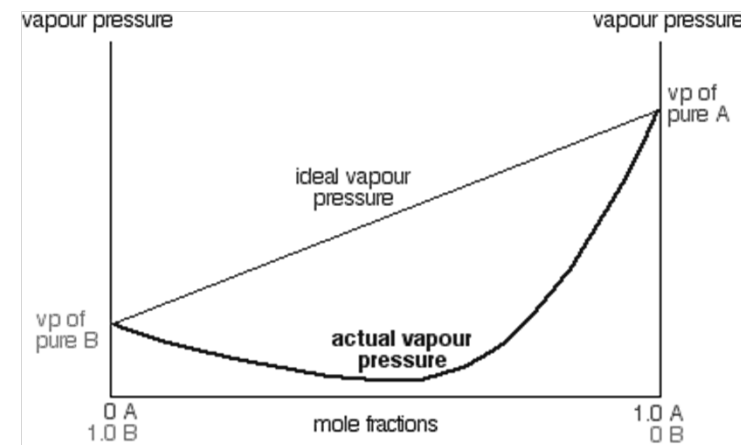


Azeotropická směs s max. T_v (min. p)

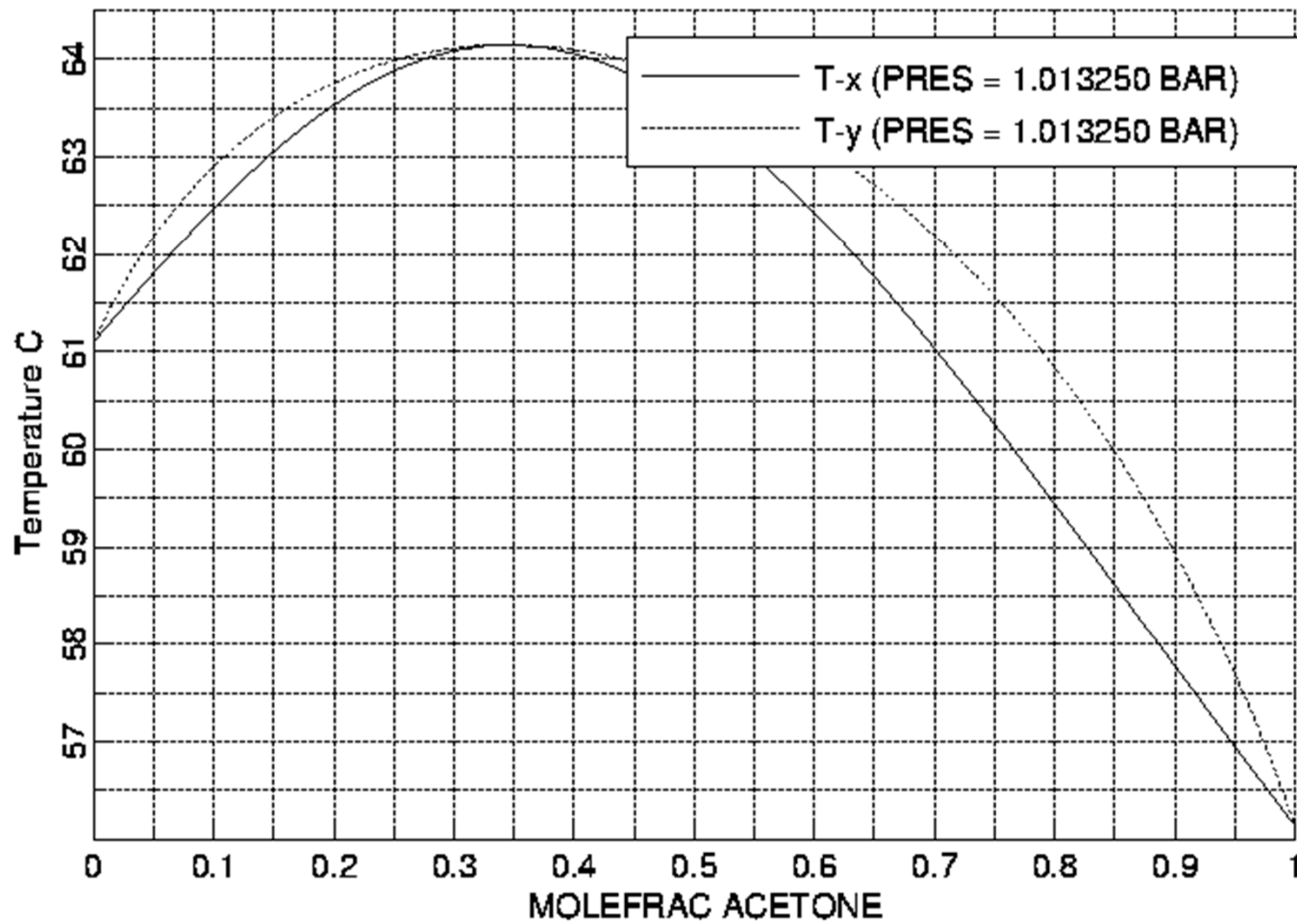


HCl – voda
108.584 °C
20.222 % HCl

Negativní odchylky od Raoultova zákona, A a B ve směsi interagují silněji než A-A a B-B
Exotermní rozpouštění



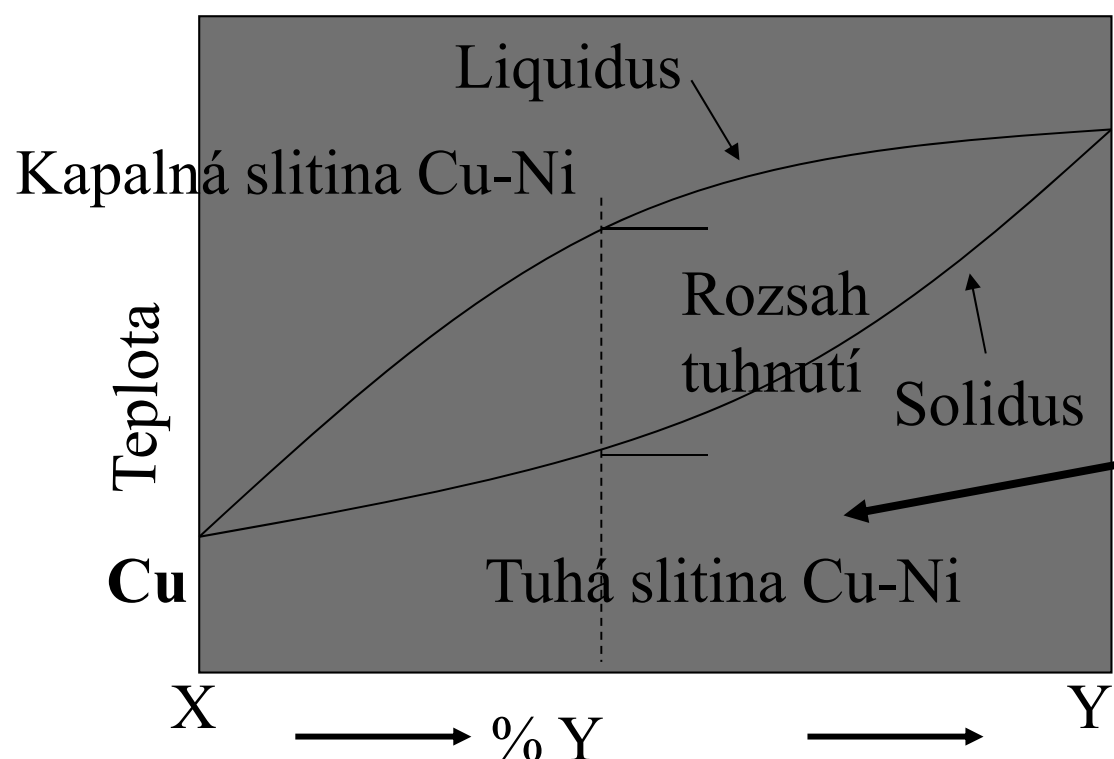
T-xy diagram for ACETONE / CHLOROFM



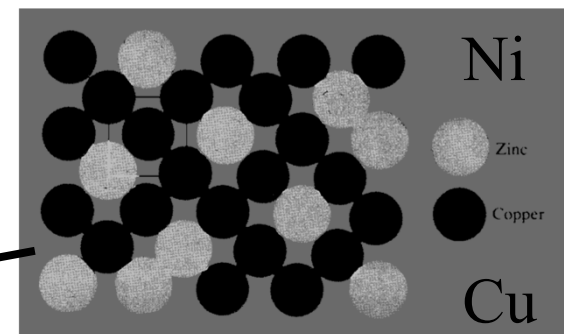
Dvě složky dokonale mísitelní v (l) i (s)

Izobarický: $p = \text{konst.}$

Substituční slitina Cu-Ni

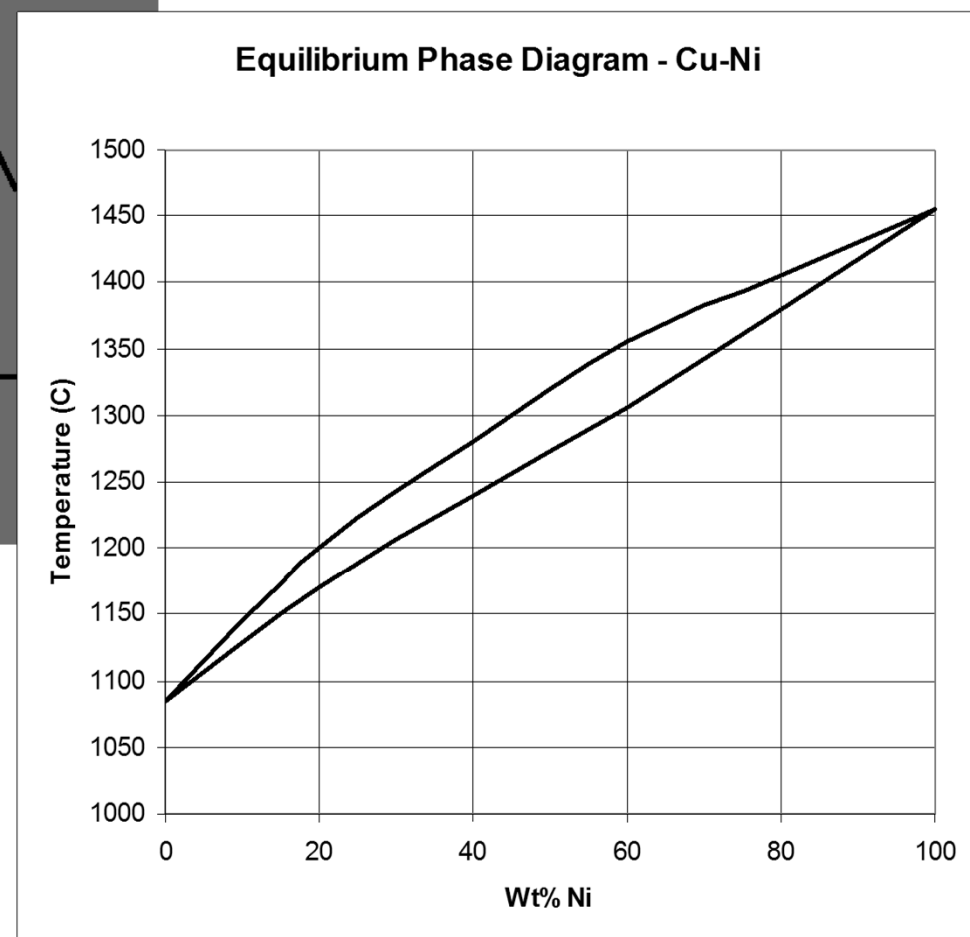
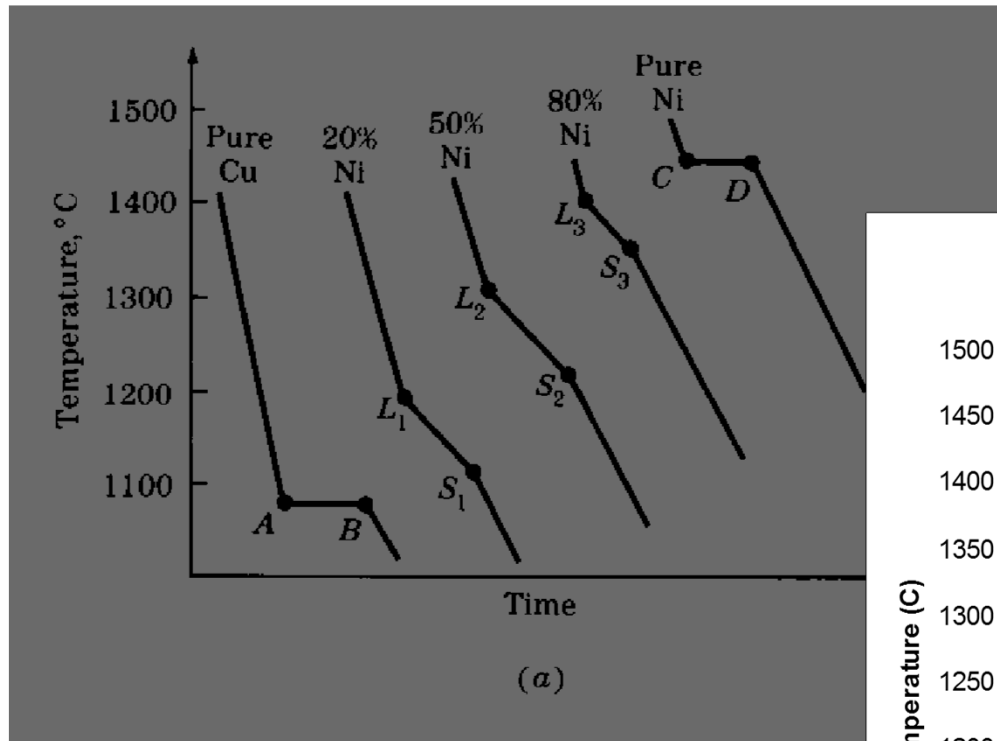


Ni – teplota tání



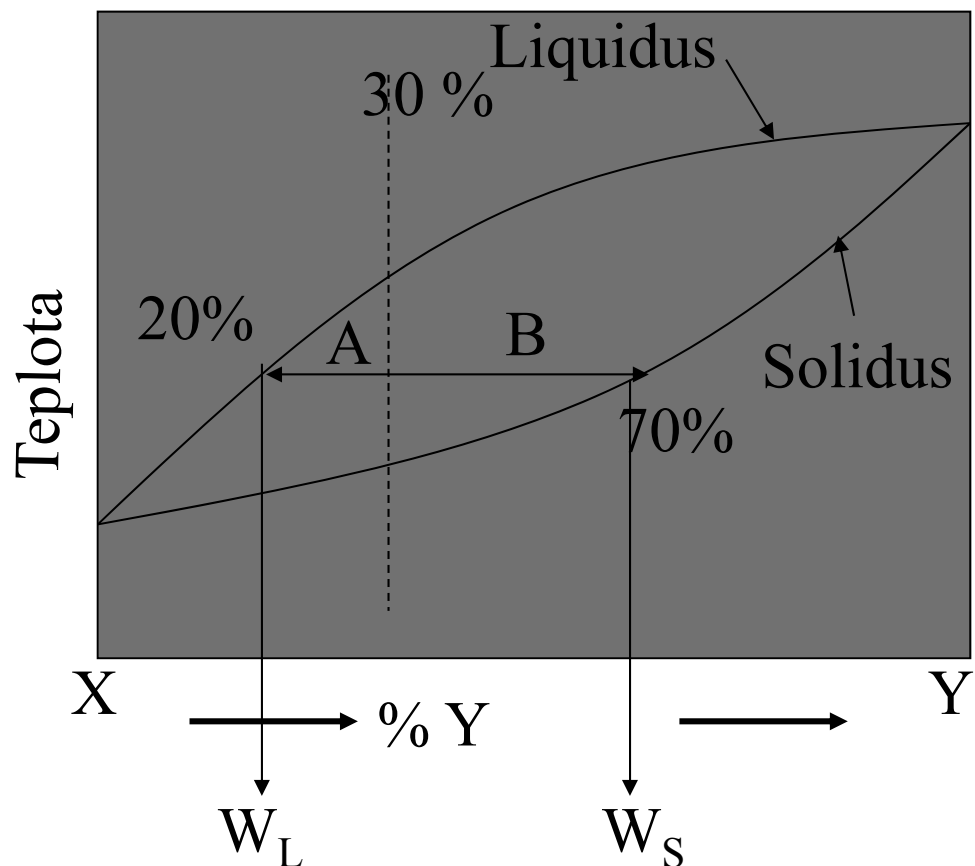
Poloměry $\pm 15\%$
Podobné elektronegativity
Podobné mocenství
Stejná krystalová struktura

Křivky tuhnutí slitiny Cu-Ni



Pákové pravidlo

Hmotnostní poměr kapalné a pevné fáze



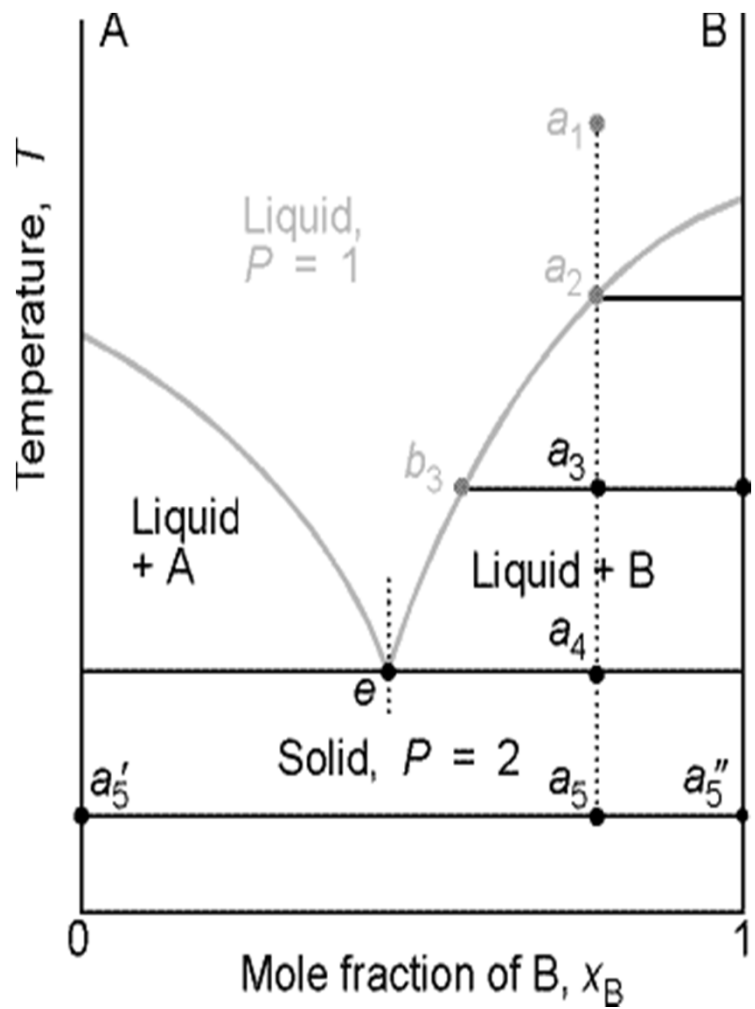
$$W_S = A / (A + B)$$

$$\%W_S = \frac{30 - 20}{70 - 20} * 100$$

$$W_L = B / (A + B)$$

$$\%W_L = \frac{70 - 30}{70 - 20} * 100$$

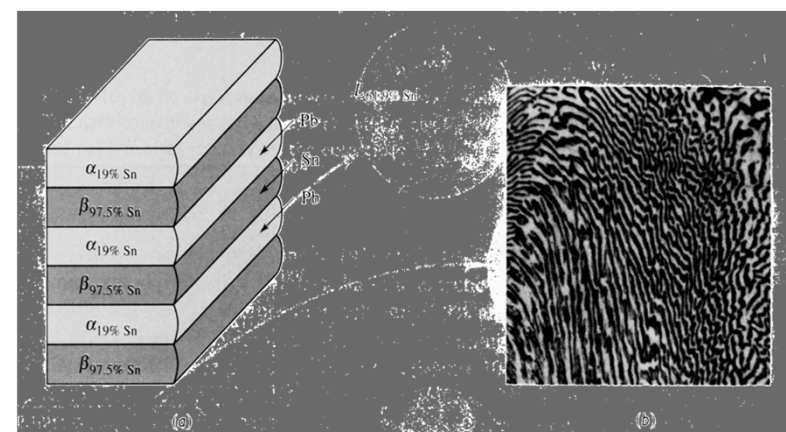
Dvě složky dokonale mísitelní v (l) a dokonale nemísitelné v (s)

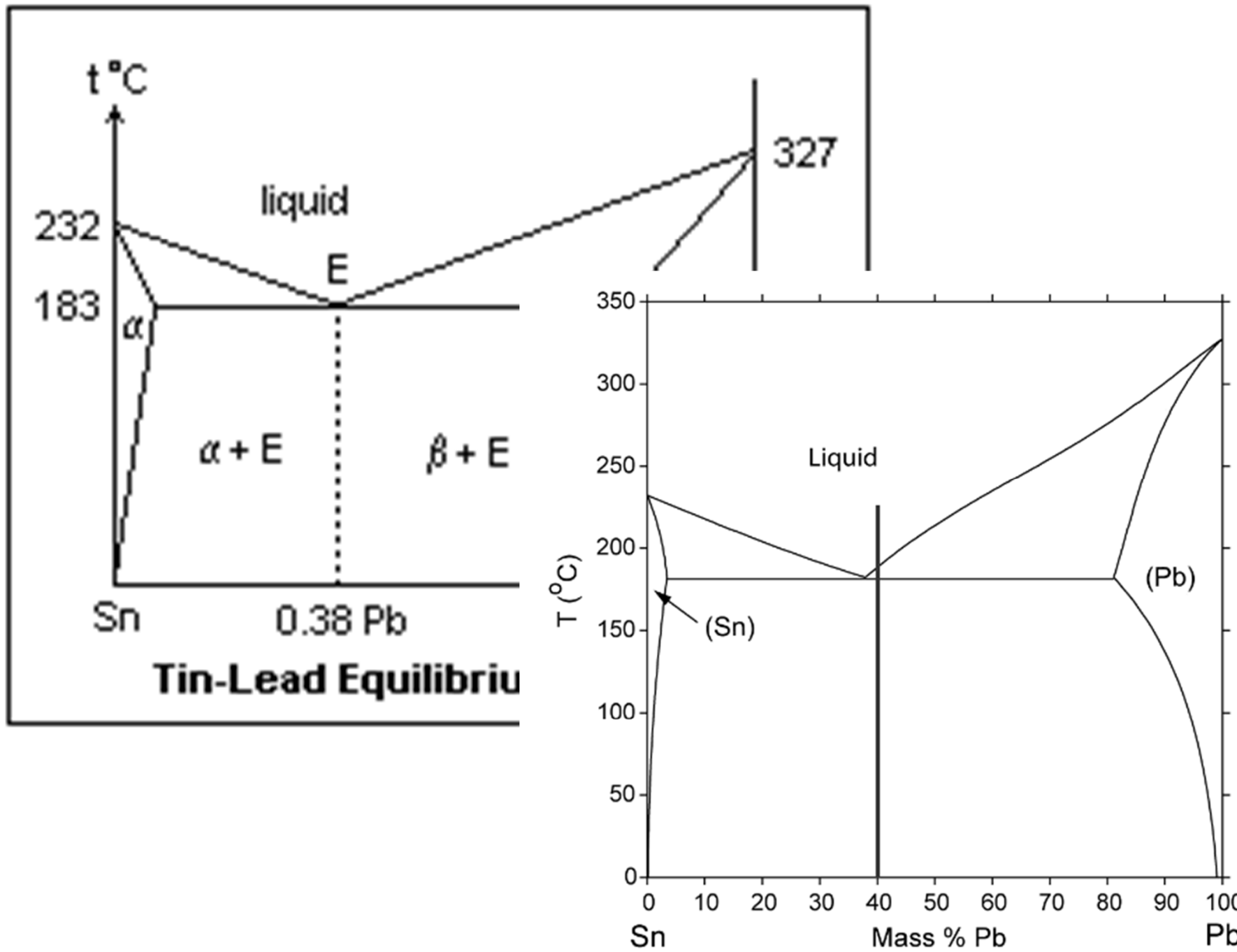


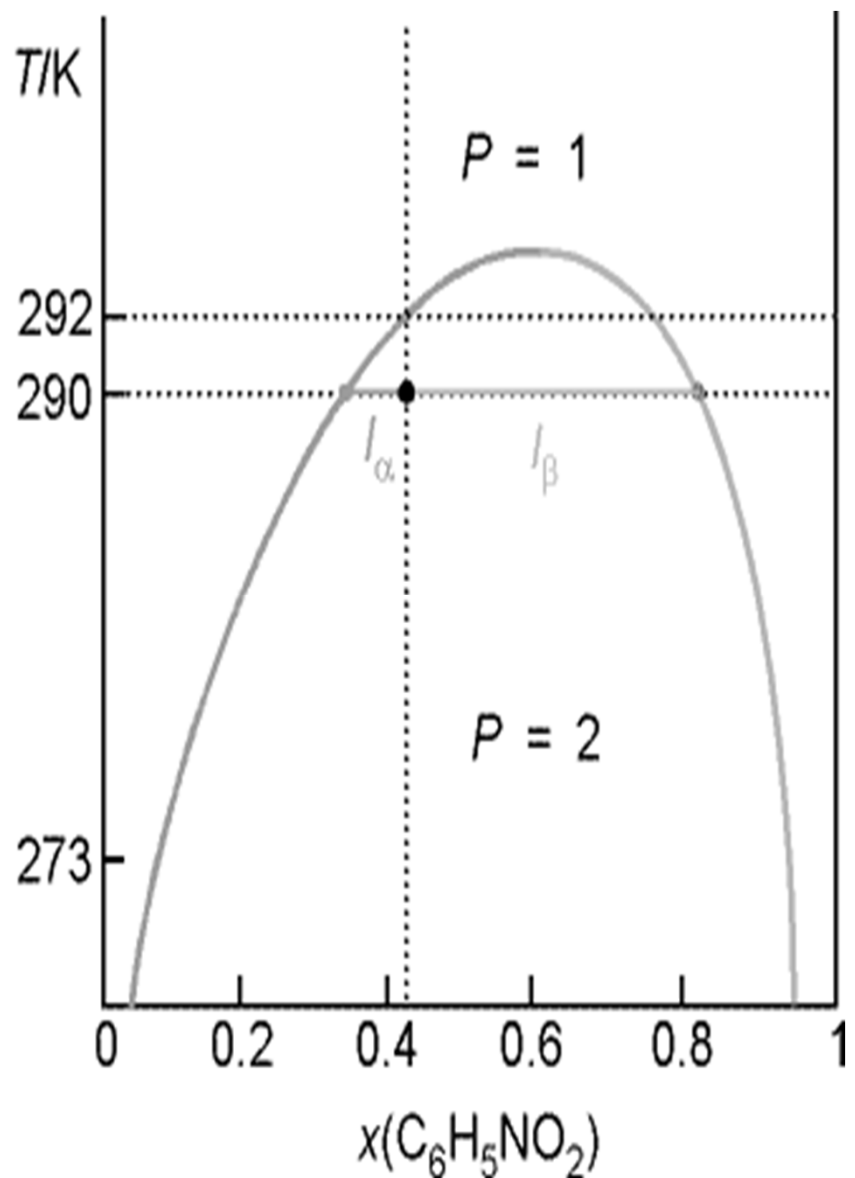
Eutektikum

Při eutektickém složení taje směs při nejnižší teplotě přímo na kapalinu

Pb-Sn pájka (Pb 38%) taje při 183 °C
cín 232 °C a olovo 327 °C

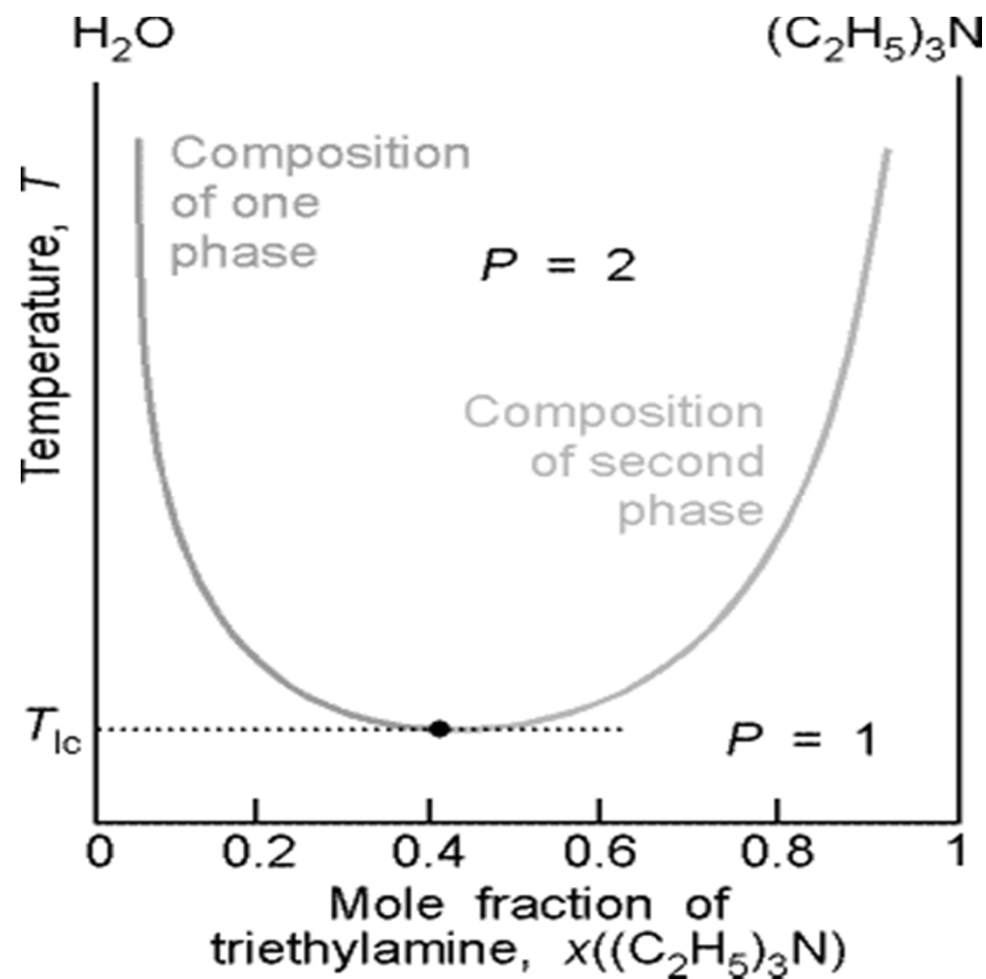






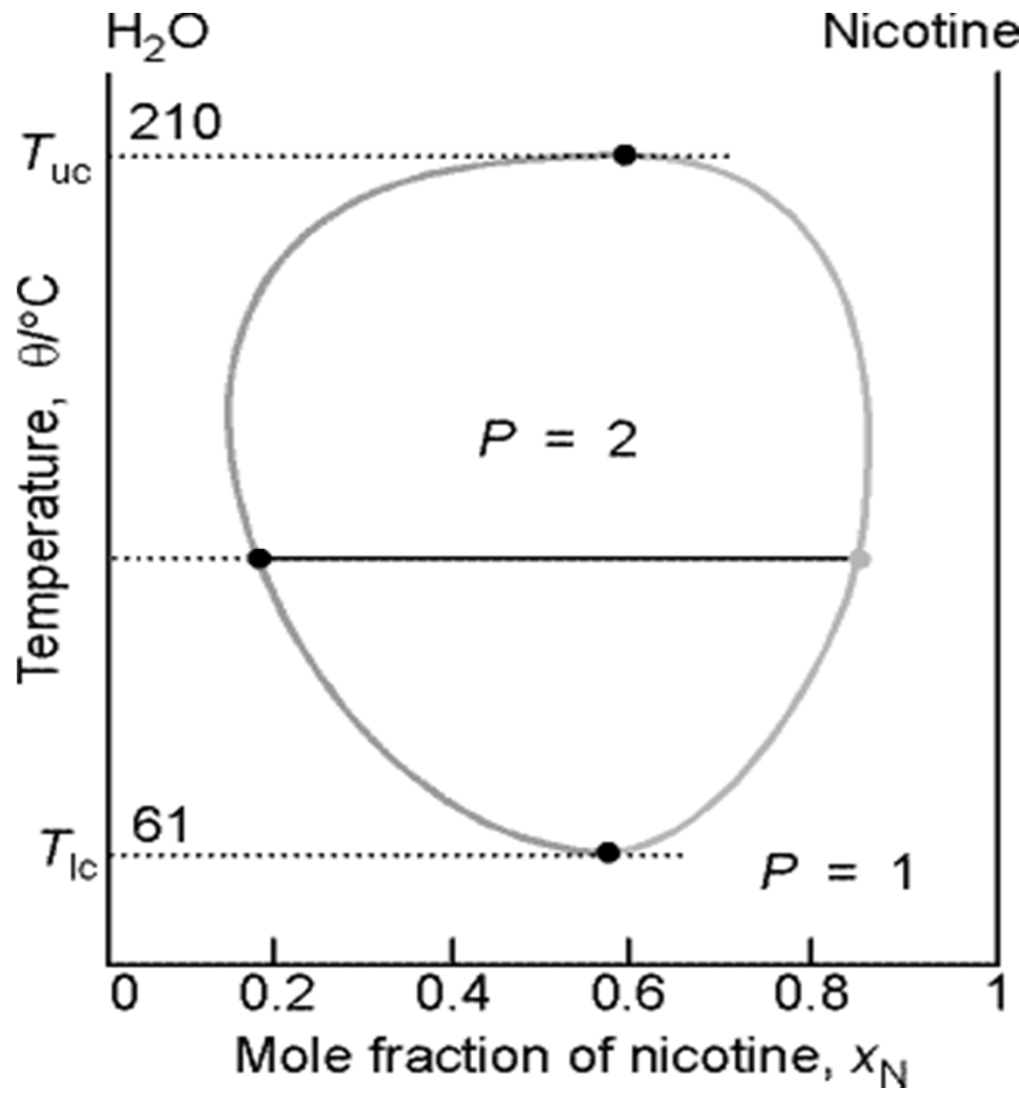
Omezeně mísetelné kapaliny
Hexan- nitrobenzen

Horní kritická teplota



Omezeně mísitelné kapaliny
Voda - triethylamin

Dolní kritická teplota



Omezeně mísitelné kapaliny
Voda - nikotin

Dolní a horní kritická teplota